



Archeo-rapport 234

De archeologisch begeleiding aan de Assesteenweg en de Terheidenboslaan te Asse



Michiel Steenhoudt, Annelies De Raymaeker & Maarten Smeets

**Kessel-Lo, 2014
Studiebureau Archeologie bvba**

Archeo-rapport 234

De archeologisch begeleiding aan de Assesteenweg en de Terheidenboslaan te Asse

Michiel Steenhoudt, Annelies De Raymaeker & Maarten Smeets

**Kessel-Lo, 2014
Studiebureau Archeologie bvba**



Colofon

Archeo-rapport 234
De archeologische begeleiding aan de Assesteenweg en Terheidenboslaan te Asse

Opdrachtgever:	Ecopower cvba
Projectleiding:	Maarten Smeets
Leidinggevend archeoloog:	Michiel Steenhoudt
Auteurs:	Michiel Steenhoudt Annelies De Raymaeker Maarten Smeets
Foto's en tekeningen:	Studiebureau Archeologie bvba (tenzij anders vermeld)

Op alle teksten, foto's en tekeningen geldt een auteursrecht. Zonder voorafgaandelijke schriftelijke toestemming van Studiebureau Archeologie bvba mag niets uit deze uitgave worden vermenigvuldigd, bewerkt en/of openbaar gemaakt, hetzij door middel van webpublicatie, druk, fotokopie, microfilm of op welke andere wijze ook.

D/2014/12.825/36

Studiebureau Archeologie bvba
Jozef Wautersstraat 6
3010 Kessel-Lo
www.studiebureau-archeologie.be
info@studiebureau-archeologie.be
tel: 0474/58.77.85
fax: 016/77.05.41

©2014, Studiebureau Archeologie bvba

Administratieve fiche

Administratieve gegevens

Opdrachtgever	Ecopower cvba Posthoflei 3, bus 3 2600 Berchem
Uitvoerder	Studiebureau Archeologie bvba
Vergunningshouder	Michiel Steenhoudt
Beheer en plaats opgravingsgegevens	Deze gegevens werden na het onderzoek overgemaakt aan de opdrachtgever.
Beheer en plaats vondsten en stalen	De vondsten en stalen werden na het onderzoek overgemaakt aan de opdrachtgever.
Projectcode	2013/438
Vindplaatsnaam	Asse-Assesteenweg
Locatie	Vlaams Brabant, Asse, Assesteenweg en Terheidenboslaan
Kadasternummers	Afdeling: 3, Sectie: B, perceelsnummers: 199G, 225T, 236C, 256G
Lambertcoördinaat 9010	X: 139879,324 Y: 178230,358 Z: 60,424
Lambertcoördinaat 9020	X: 139941,087 Y: 178237,590 Z: 59,454
Lambertcoördinaat 9030	X: 139986,418 Y: 178197,618 Z: 58,408
Lambertcoördinaat 9040	X: 140007,389 Y: 178199,486 Z: 58,103
Kadasterplan	Zie fig. 1.2
Topografisch plan	Zie fig. 1.1
Begindatum	5-11-2013
Einddatum	27-11-2013

Onderzoeksopdracht

Verwijzing Bijzondere voorwaarden	Zie bijzondere voorwaarden bij de vergunning voor een archeologische opgraving: Asse, Assesteenweg-Terheidenboslaan-(bouwen van 4 windturbines)
Archeologische verwachtingen	Op de locatie van windmolen 1 werden bij veldprospectie in 1991 door Agilas Romeins bouw materiaal, aardewerk en maalstenen aangetroffen. Mogelijk wijzen deze op de aanwezigheid van een stenen gebouw (van een villa) op deze locatie. Omdat een villadomein veel ruimer is dan 1 stenen gebouw, kunnen bijgevolg ook op de andere locaties sporen aangetroffen worden.
Wetenschappelijke vraagstellingen	<ul style="list-style-type: none">- Zijn er sporen aanwezig op de locaties van de 4 windmolens?- Welke datering hebben deze sporen?- Hoe kunnen deze sporen geïnterpreteerd worden?

	<ul style="list-style-type: none"> - Zijn er aanwijzingen voor Romeinse steenbouw in de onderzochte zones? - Behoren ze tot een Romeins villadomein? - Zijn er aanwijzingen (topografisch, ...) voor de uitgestrektheid van het villadomein?
Aard van de bedreiging	Er zullen in Asse 4 windmolens opgericht worden door Ecopower. Twee molens staan langs de Assesteenweg, twee langs de Terheidenboslaan. De teelaarde van deze molens (uitgegraven fundering en aanleg steenslagverharde kraanplaats) wordt afgegraven. In totaal wordt ongeveer 0,5 ha onderzocht.
Randvoorwaarden	Zie bijzondere voorwaarden bij de vergunning voor een archeologische opgraving: Asse, Assesteenweg-Terheidenboslaan-(bouwen van 4 windturbines)

Inhoudstafel

Inhoudstafel	p. 1
Hoofdstuk 1 Algemene inleiding en situering van het project	p. 3
1.1 Inleiding	p. 3
1.2 Beschrijving van de vindplaats	p. 3
1.3 Fysiografie	p. 5
1.3.1 Lokale topografie en hydrografie	p. 5
1.3.2 Geologische opbouw	p. 6
1.3.3 Bodemeenheden rond de site en hun eigenschappen	p. 8
1.4 Archeologische voorkennis	p. 9
1.5 Onderzoeksopdracht	p. 11
Hoofdstuk 2 Werkwijze en opgravingsstrategie	p. 13
Hoofdstuk 3 Resultaten van het sporenbestand	p. 15
3.1 Stratigrafie en profielen	p. 15
3.2 Overzichtsplattegronden	p. 16
3.3 Bespreking van de sporen	p. 19
Hoofdstuk 4 Resultaten van de vondsten	p. 33
4.1 Indeling en telling	p. 33
4.2 Methode en werkwijze	p. 33
4.3 Resultaten	p. 33
4.4 Conclusie	p. 44
Hoofdstuk 5 Resultaten van staalnames	p. 47
Hoofdstuk 6 Interpretatie van de vindplaats	p. 49
6.1 Absolute datering op basis van de vondsten	p. 49
6.2 Absolute datering op basis van de natuurwetenschappelijke dateringen	p. 49
Hoofdstuk 7 Synthese van de vindplaats	p. 51
Hoofdstuk 8 Aanbevelingen	p. 53
Bibliografie	p. 55
Bijlage	p. 57
Bijlage 1 Sporenlijst	p. 59
Bijlage 2 Vondstenlijst	p. 67
Bijlage 3 Ceramiektekeningen	p. 81

Hoofdstuk 1 Algemene inleiding en situering van het project

1.1 Inleiding

Naar aanleiding van de bouw van 4 windturbines aan de Assesteenweg en de Terheidenboslaan te Asse werd door Onroerend Erfgoed een archeologische begeleiding in de vorm van een vlakdekkende opgraving opgelegd (2013/438).

Het onderzoek werd door Ecopower cvba aan Studiebureau Archeologie bvba toevertrouwd en het terreinwerk werd uitgevoerd van 5 tot en met 27 november 2013.

1.2 Beschrijving van de vindplaats

Het projectgebied beslaat in totaal ca. 0,5 ha en omvat 4 verschillende locaties. Windmolens 1 en 2 liggen langs de Assesteenweg, Windmolens 3 en 4 zijn gelegen langs de Terheidenboslaan (fig. 1.1 en fig. 1.2).

Binnen de archeoregio's (fig. 1.3) is het projectgebied gesitueerd in de (zand)leemstreek. Het gebied maakt deel uit van een brede leemgordel die nagenoeg heel midden-België omvat. De dikte van het leemdek wisselt fel. Het kan plaatselijk meer dan 20 m bedragen. Het leem is grotendeels van eolische oorsprong en dateert uit het einde van de laatste ijstijd (Weichseliaan). Het bodemprofiel dat aan de top voorkomt met als meest kenmerkende horizont is de textuur B horizont (één van de rijkste bodems van ons land) kan als holoceen beschouwd worden¹.

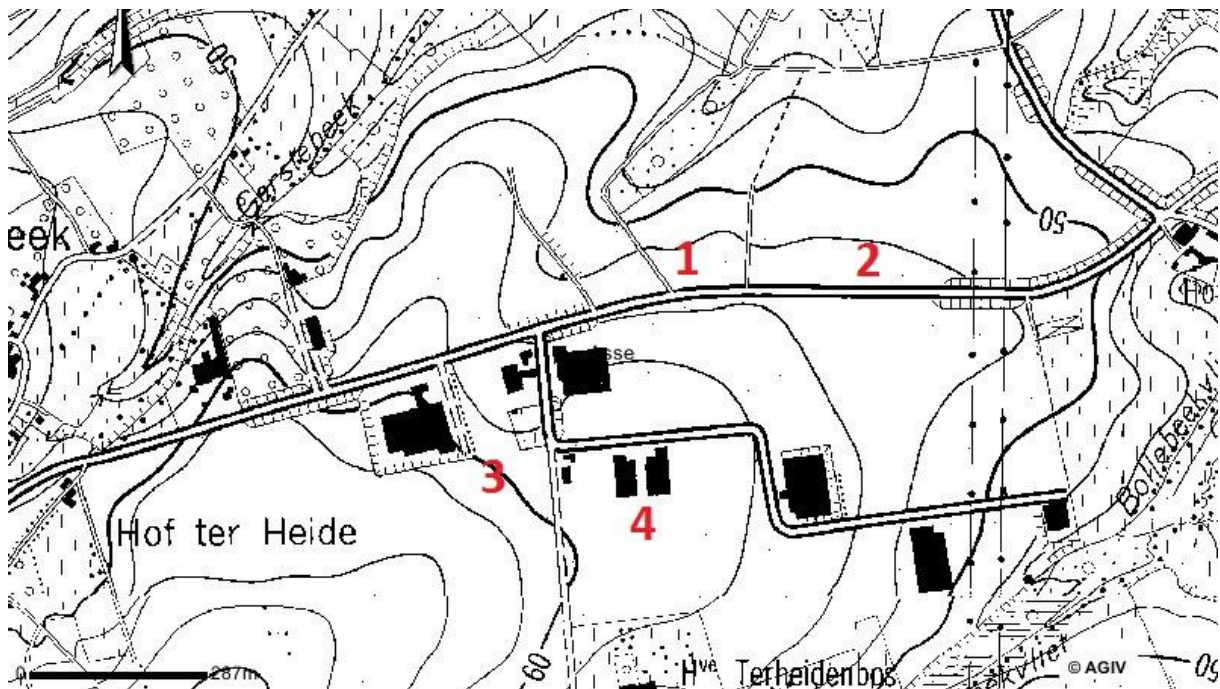


Fig. 1.1: Topografische kaart met situering van het projectgebied².

¹ www.onderzoeksbalans.be

² www.agiv.be

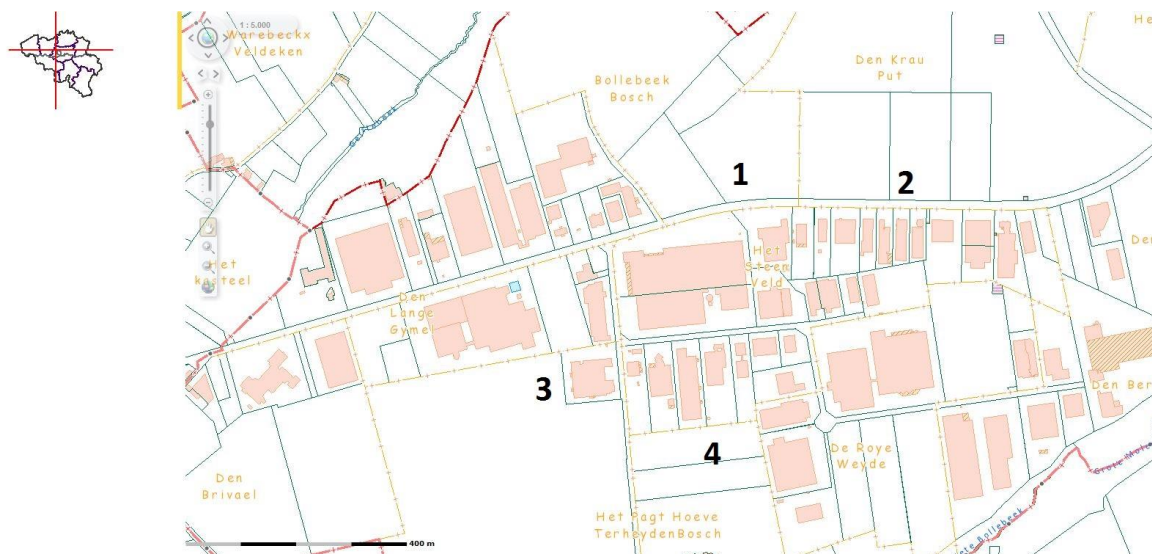


Fig. 1.2: Kadasterkaart met situering van het projectgebied³.

Lambertcoördinaat 9010	X: 139879,324 Y: 178230,358 Z: 60,424
Lambertcoördinaat 9020	X: 139941,087 Y: 178237,590 Z: 59,454
Lambertcoördinaat 9030	X: 139986,418 Y: 178197,618 Z: 58,408
Lambertcoördinaat 9040	X: 140007,389 Y: 178199,486 Z: 58,103

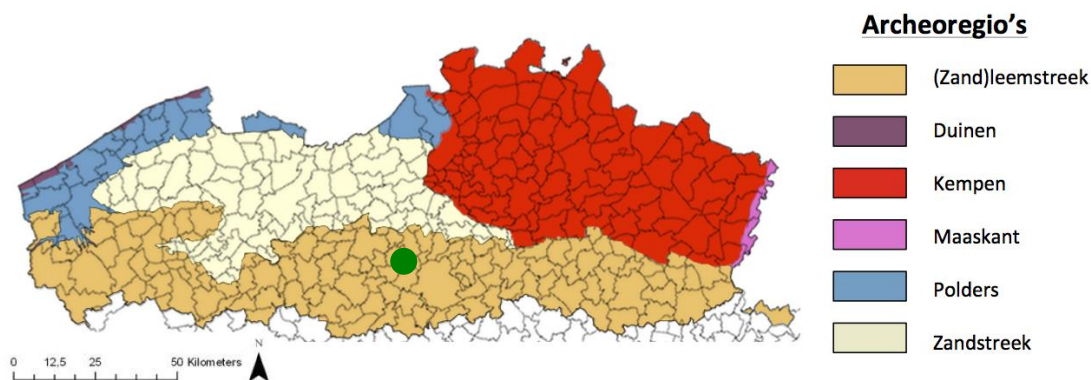


Fig. 1.3: Situering van het projectgebied binnen de verschillende Vlaamse archeoregio's⁴.

³ www.minfin.fgov.be

⁴ <https://onderzoeksbalans.onroerendergoed.be/onderzoeksbalans/archeologie>

1.3 Fysiografie

1.3.1 Lokale topografie en hydrografie

Het onderzoeksgebied ligt tussen een hoogte van 48 m TAW voor windmolen 1 en 59 m TAW voor windmolen 3. Het oppervlak helt af in noordoostelijke richting (fig. 1.4). De afwatering gebeurt via de Gerstebeek in het noordwesten en de Grote Molenbeek in het noordoosten (fig. 1.5). Deze behoren tot het Beneden-Scheldenbekken.

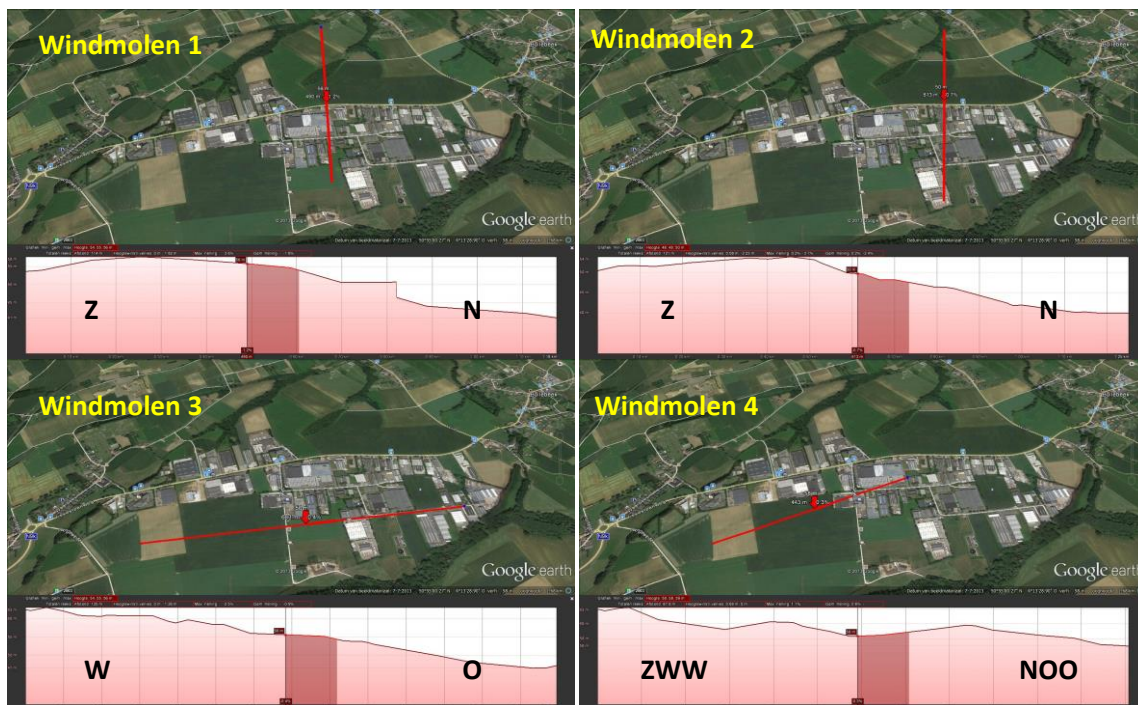


Fig. 1.4: Lengteprofielen van het oppervlak en de helling in het projectgebied⁵.

⁵ Projectie via Google Earth.

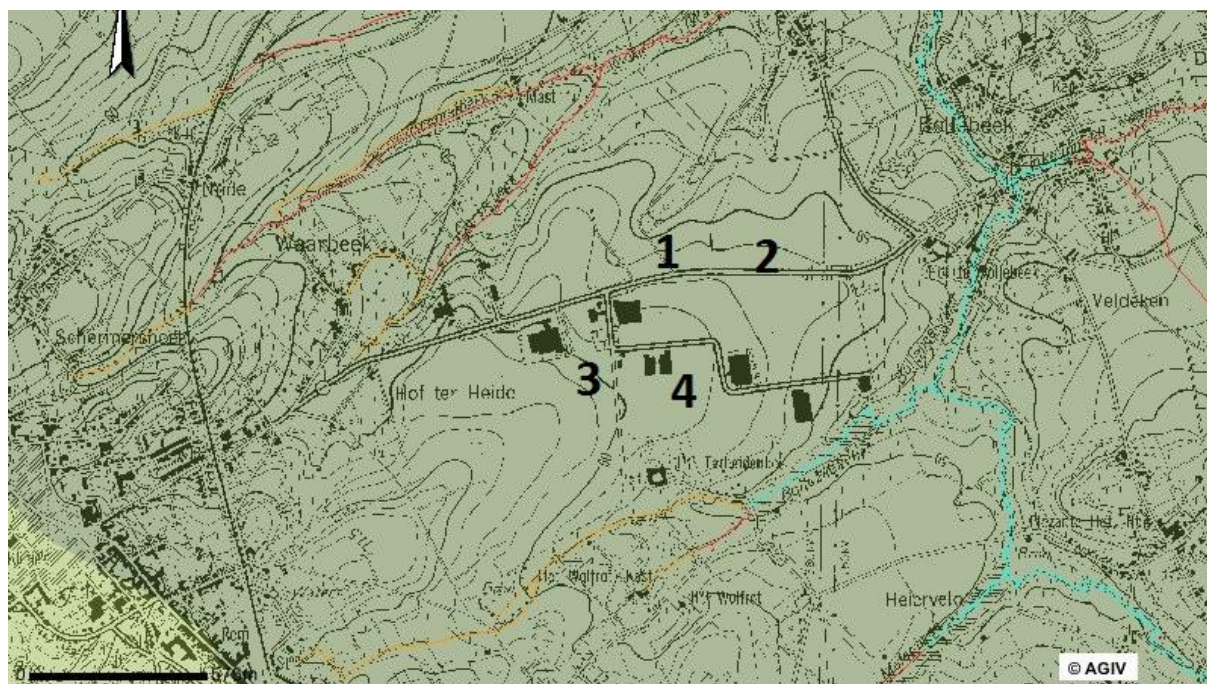


Fig. 1.5: Topografie en hydrografie rond het situering onderzoeksgebied⁶.

1.3.2 Geologische opbouw

Onder het projectgebied van windmolens 1 en 2 bevinden zich sedimenten die behoren tot het lid van Wemmel (fig. 1.6). Deze formatie dateert uit het Laat Eoceen (fig. 1.7). Het betreft grijs tot groen fijn zand dat kleihoudend en glauconiethoudend is. Onder het projectgebied van windmolens 3 en 4 ligt een grijsblauwe tot blauwe klei. Deze behoort tot het lid van Asse, maar wordt niet afzonderlijk gekarteerd. Deze sedimenten zijn inbegrepen in het Lid van Ursel dat ook dateert uit het Laat Eoceen.

⁶ www.agiv.be

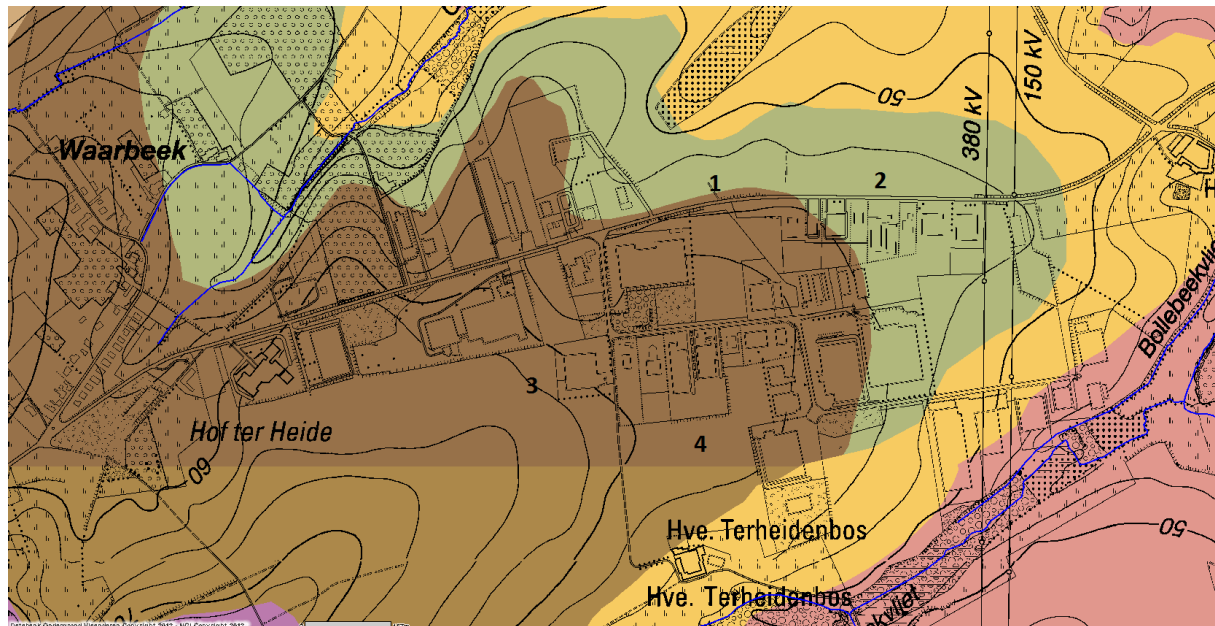


Fig. 1.6: Tertiair geologische kaart rond het projectgebied⁷.

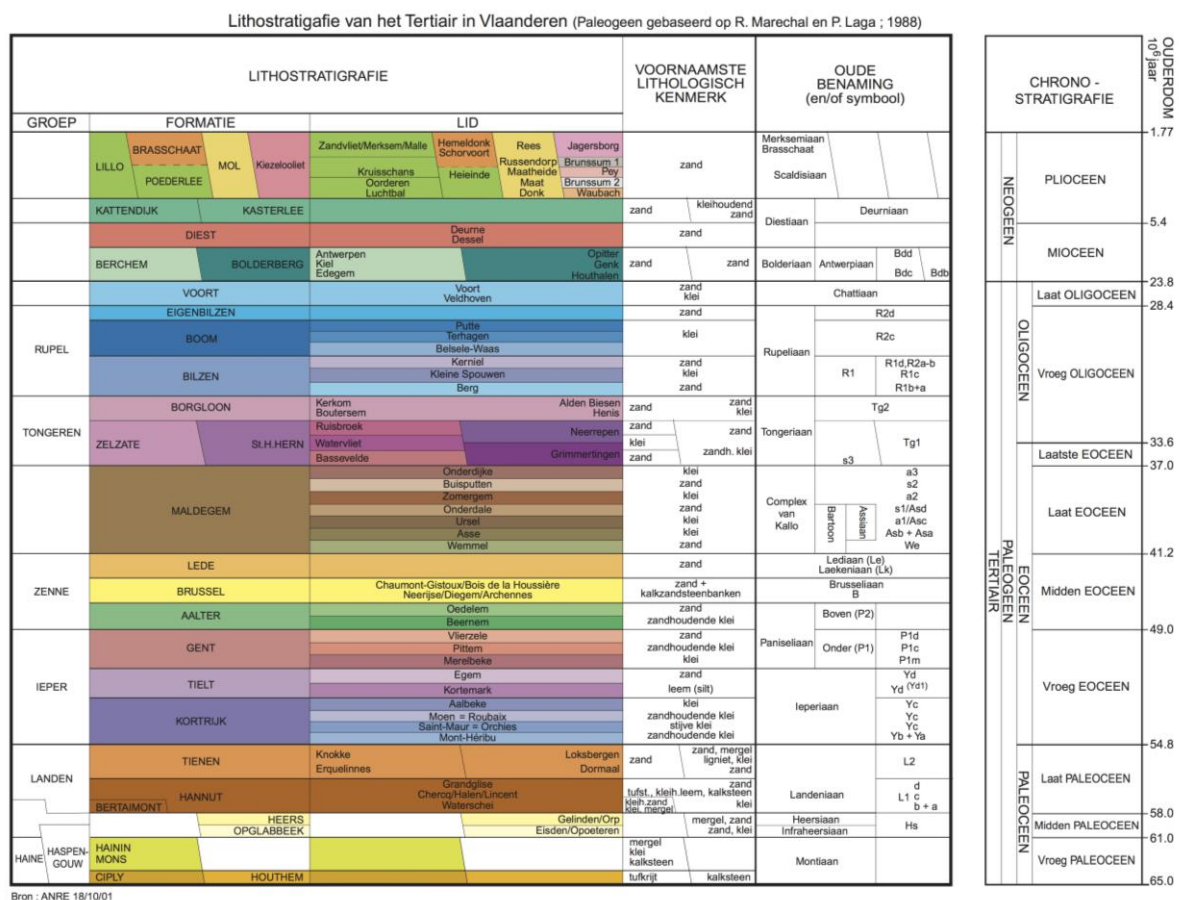


Fig. 1.7: Litho- en chronostratigrafie van het Tertiair in Vlaanderen⁸.

⁷ www.dov.vlaanderen.be

De Quartaire ondergrond (fig. 1.8) heeft geen holocene of tardiglaciale afzettingen boven op de pleistocene sequentie.

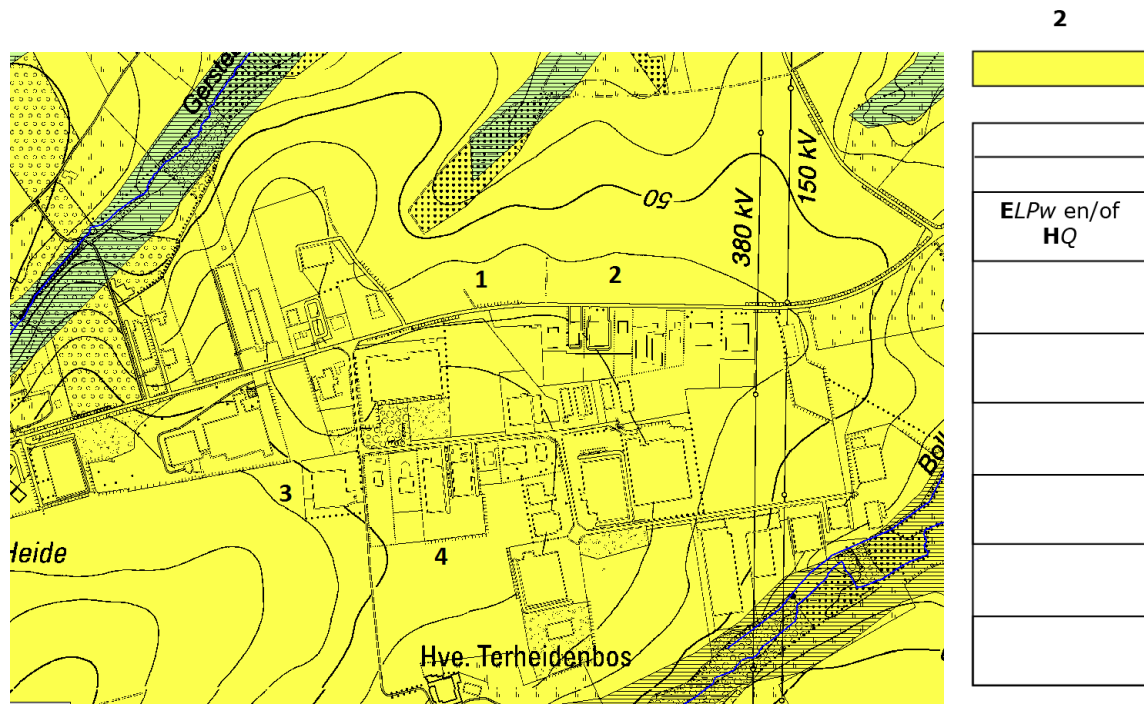


Fig. 1.8: Quartair geologische kaart met situering van het projectgebied⁹.

Legende¹⁰:

- ELPw** Eolische afzettingen (zand tot silt) van het Weichseliaan (Laat-Pleistoceen), mogelijk Vroeg-Holocene; zand tot zandleem in het noordelijke en centrale gedeelte van Vlaanderen; silt (loess) in het zuidelijke gedeelte van Vlaanderen.
- HQ** Hellingsafzettingen van het Quartair.

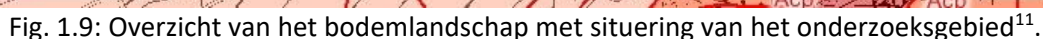
1.3.3 Bodemeenheden rond de site en hun eigenschappen

Het projectgebied ligt op een leembodem (A..) (fig. 1.9). Voor de 4 verschillende locaties staat telkens een droge (.b.) leembodem met een textuur B horizont (..a) gekarteerd. De A horizont is altijd minder dan 40 cm(...1). Bodems met een Aba1 profiel nemen grote aaneengesloten oppervlakte in op het bovendeele en de zachte hellingen van de verschillende leemruggen in het uiterste noorden en in het zuiden.

⁸ www.dov.vlaanderen.be

⁹ www.dov.vlaanderen.be

¹⁰ Bogemans 2005: 1.



Ten westen van windmolen (ongeveer 700 m) ligt CAI 5227. Het Kasteel van Waarbeek uit de late middeleeuwen, zou een site met walgracht geweest zijn. De vroegste bronnen gaan terug tot 1470. In de 18^{de} eeuw is het omgebouwd tot buitenverblijf. Net ten westen hiervan ligt CAI 150470, de neerhoeve van het kasteel, ook gedateerd in de late middeleeuwen.

9

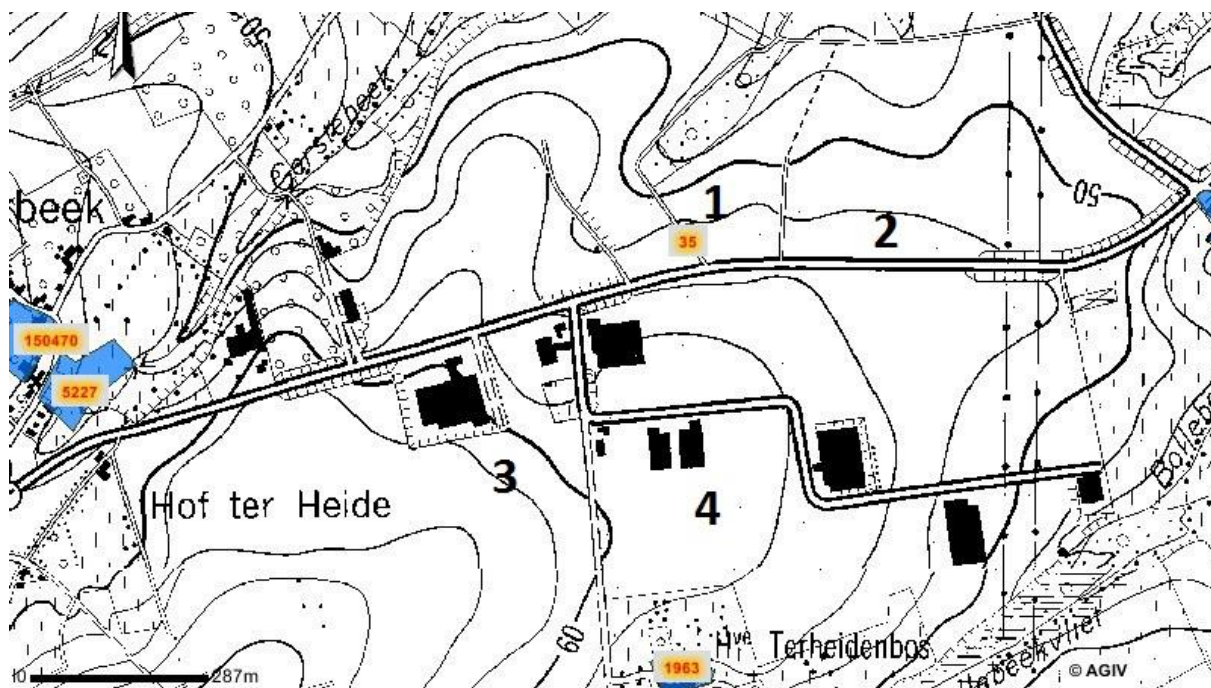


Fig. 1.10: Uittreksel uit de CAI met situering van het projectgebied¹².

De Ferrariskaart (1771-1778) (fig. 1.11) toont voor locatie van windmolen 1 een bos met kreupelhout. De locaties van windmolen 2, 3 en 4 zijn ingekleurd als akkerland.

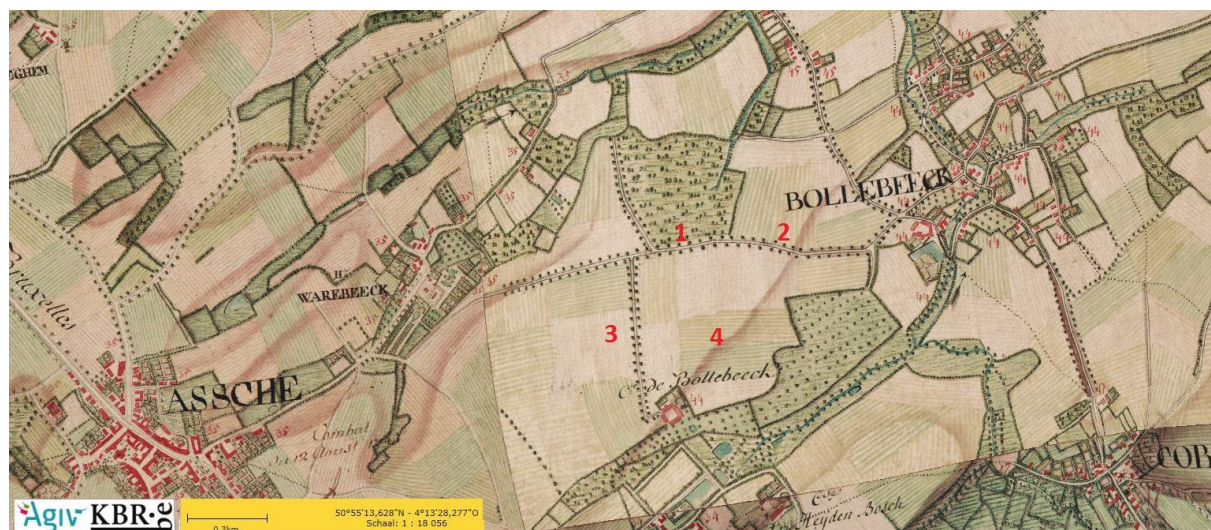


Fig. 1.11: Uittreksel uit de Ferrariskaart met situering van het projectgebied¹³.

Ook op de Popp-kaarten (fig. 1.12) werden geen structuren opgemerkt.

¹² www.agiv.be

¹³ <http://www.geopunt.be>

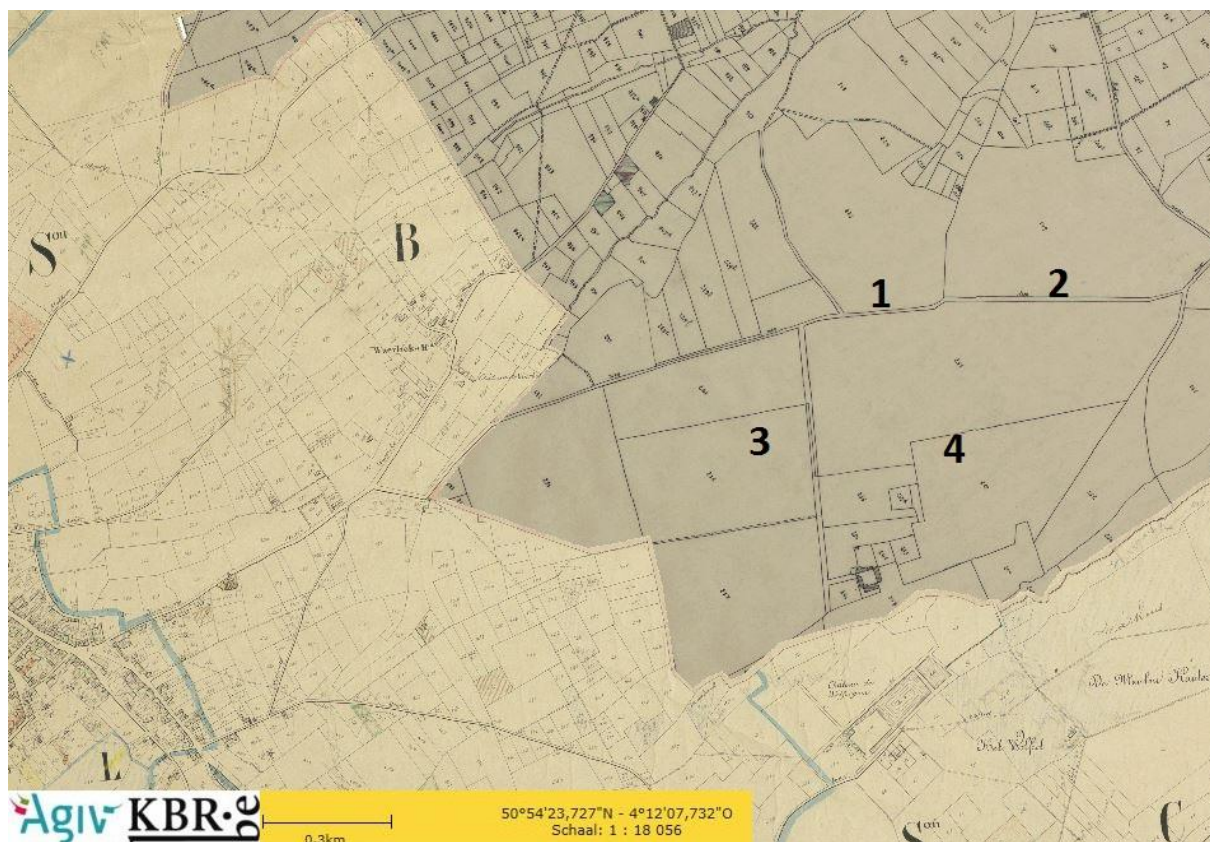


Fig. 1.12: Uittreksel uit de Popp-kaarten met situering van het projectgebied¹⁴.

1.5 Onderzoeksopdracht

Het doel van deze prospectie met ingreep in de bodem is een archeologische evaluatie van het terrein. Hierbij moeten minimaal volgende onderzoeksvragen beantwoord worden:

- Zijn er sporen aanwezig op de locaties van de 4 windmolens?
- Welke datering hebben deze sporen?
- Hoe kunnen deze sporen geïnterpreteerd worden?
- Zijn er aanwijzingen voor Romeinse steenbouw in de onderzochte zones?
- Behoren ze tot een Romeins villadomein?
- Zijn er aanwijzingen (topografisch, ...) voor de uitgestrektheid van het villadomein?

¹⁴ <http://www.geopunt.be>

Hoofdstuk 2 Werkwijze en opgravingsstrategie

Conform de opgelegde voorschriften werden de vlakken aangelegd door een door de opdrachtgever ter beschikking gestelde graafmachine op rupsbanden met een platte graafbak (fig. 2.1). In totaal werden 4 werkputten aangelegd. In elke werkput werd 1 profielput aangelegd.



Fig. 2.1: Aanleg van het vlak.

De aangelegde vlakken werden manueel opgeschaafd en gefotografeerd. Alle aanwezige sporen werden gefotografeerd, beschreven en gecoupeerd om de diepte, aard en de bewaringstoestand van de sporen te achterhalen. Van de gecoupeerde sporen werden, indien antropogeen, digitale coupetekeningen gemaakt. Vondsten werden per spoor en eventueel per laag ingezameld.

Alle sleuven, sporen en losse vondsten werden digitaal topografisch ingemeten, evenals het maaiveld en de locatie van de profielen. Het maaiveld werd, waar mogelijk, onderzocht met de metaaldetector. Ook het archeologisch vlak werd door middel van metaaldetectie onderzocht.

Sporen met houtskoolrijke lagen werden bemonsterd. De genomen monsters komen alle uit werkput 3, waar zich sporen bevonden van enkele voorraadkuilen en van enkele plattegronden. Bij de staalnames zijn de meest duidelijke voorraadkuilen en enkele paalkuilen met veel houtskool, uit elke plattegrond, bemonsterd. Bij de keuze naar onderzoek van deze stalen was het budget de beperkende factor waardoor niet alle stalen konden gewaardeerd worden. Het aanwezige budget werd zodanig verdeeld dat alle plattegronden en de cluster van voorraadkuilen gedateerd kunnen worden door middel van ^{14}C -datering en dat minstens één van de voorraadkuilen volledig onderzocht kan worden.

De 4^{de} werkput werd aangelegd in zeer slechte weersomstandigheden, waardoor ook een deel van de put nadien onder water kwam te staan. Zolang er geen sporen werden aangetroffen bij de aanleg

van het vlak, werd besloten om verder te werken. Omwille van het slechte weer werd de aanleg van werkput 3 drie kalenderdagen uitgesteld.

Hoofdstuk 3 Resultaten van het sporenbestand

3.1 Stratigrafie en profielen

De opbouw van de bodem is te capteren in 4 bodemprofielen (fig. 3.1).

Alle profielen vertonen ongeveer dezelfde opbouw. De teelaarde (H1) is gemiddeld 30 cm dik. In werkput 1 kon een kleine ophoging (H2) onder de teelaarde waargenomen worden met een dikte van ongeveer 15 cm. In werkputten 1, 2 en 4 werd een dun pakket colluvium (H3) opgetekend met een gemiddelde dikte van 25 cm. In werkput 3 kon onmiddellijk onder de teelaarde de B-horizont (H4) opgetekend worden. Hieronder bevond zich de C-horizont (H5).

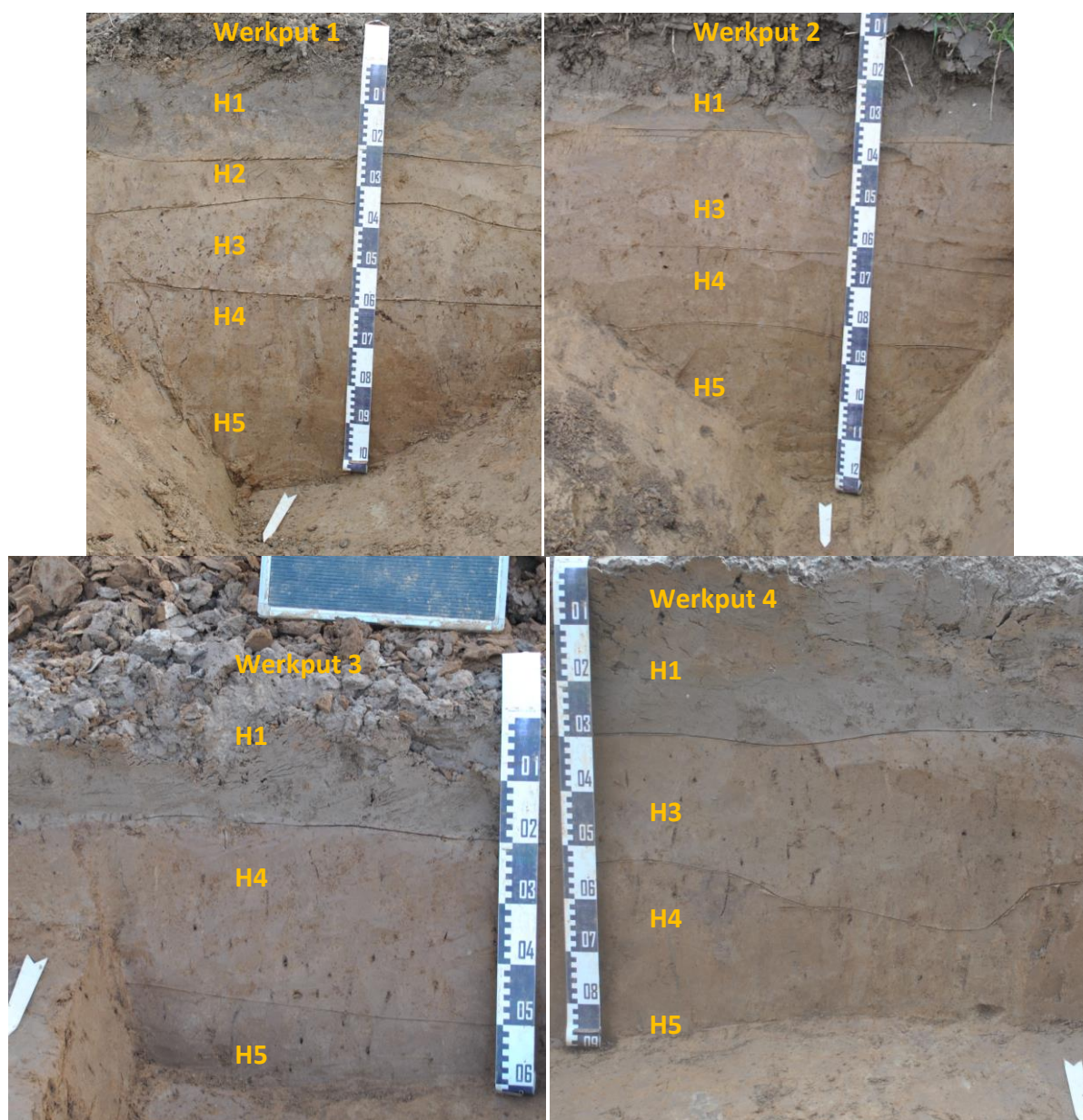


Fig.3.1: De bodemprofielen.

3.2 Overzichtsplattegronden

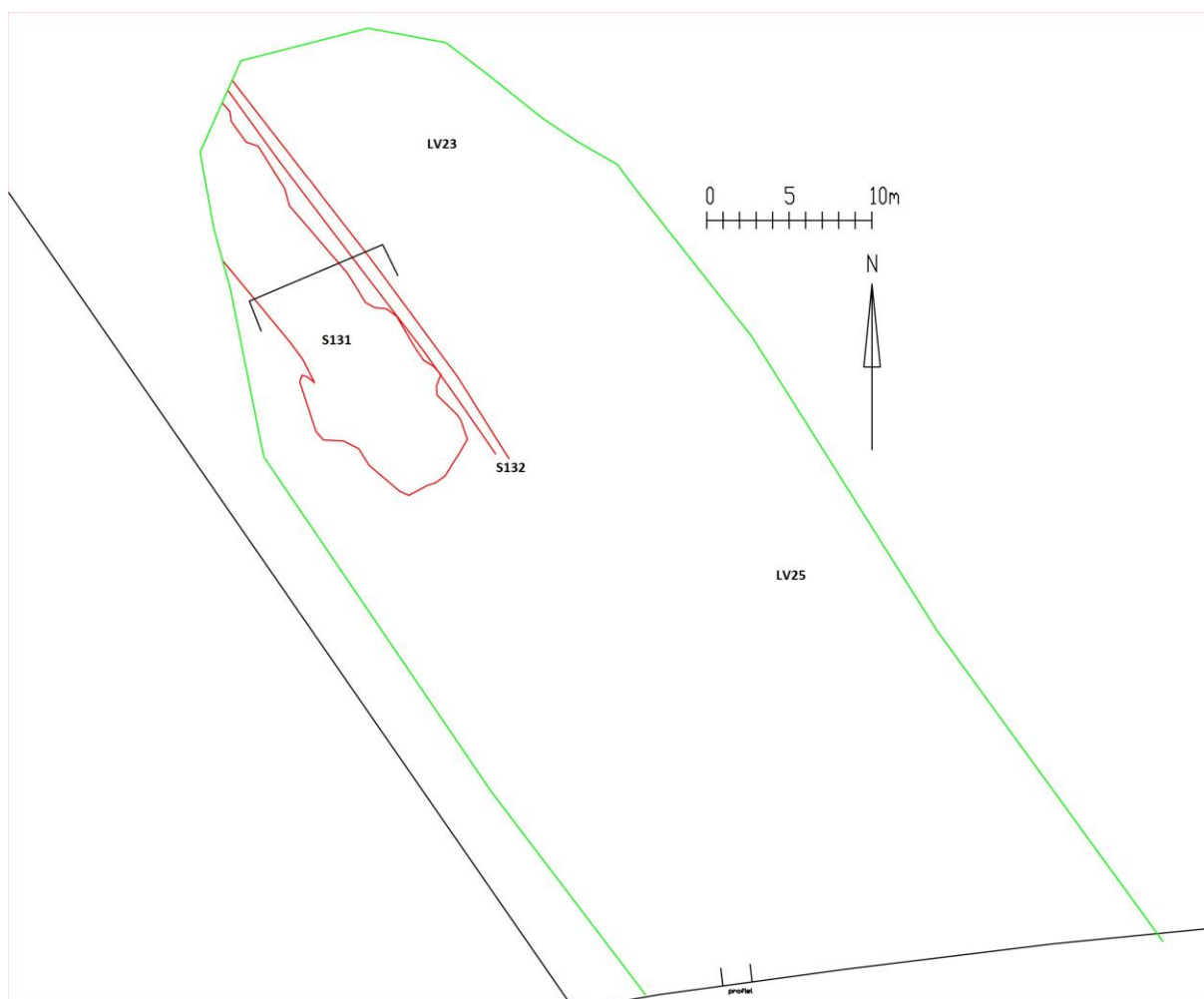


Fig. 3.2 Overzichtsplan van windmolen 1.

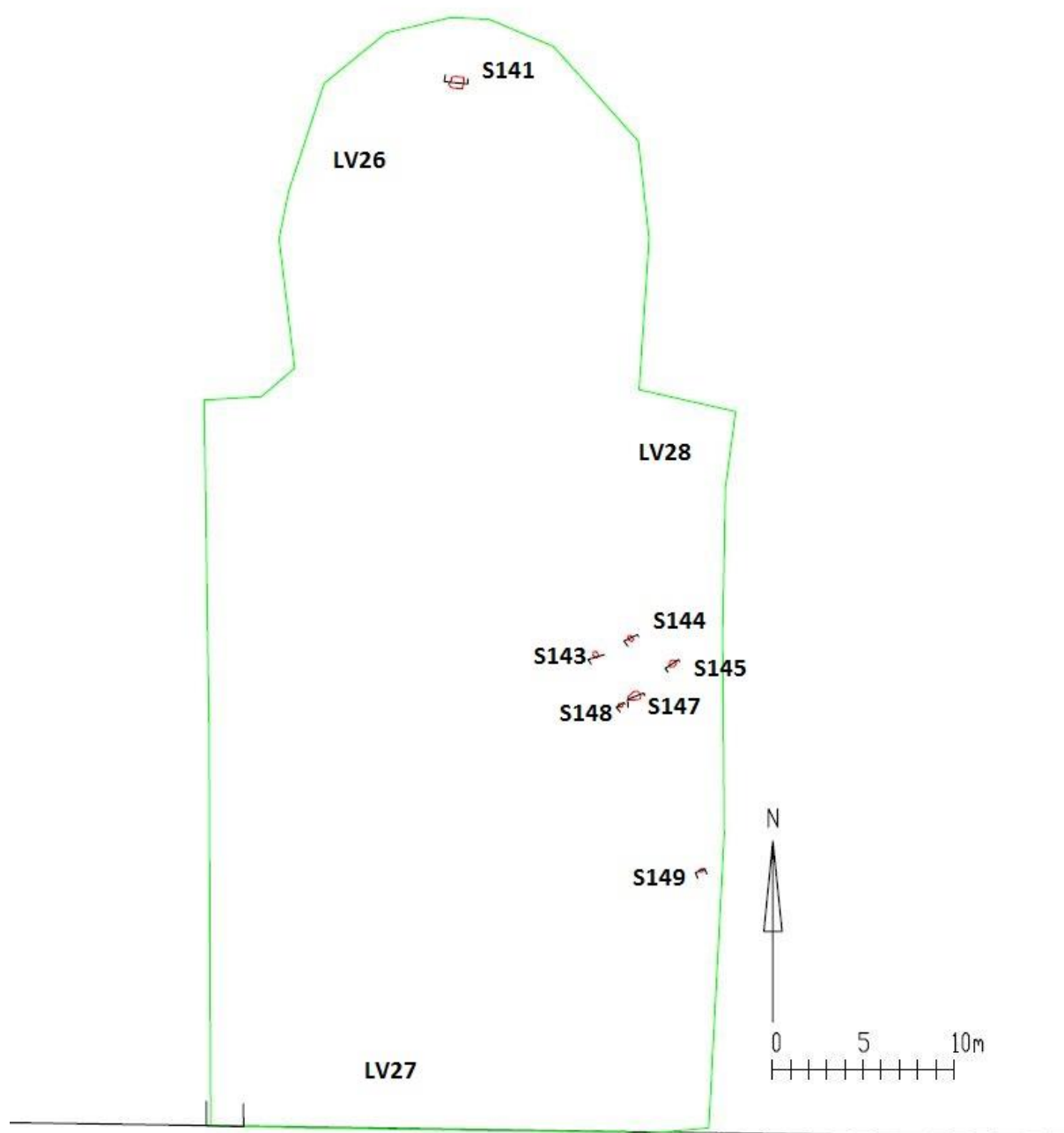


Fig. 3.3 Overzichtsplan van windmolen 2.

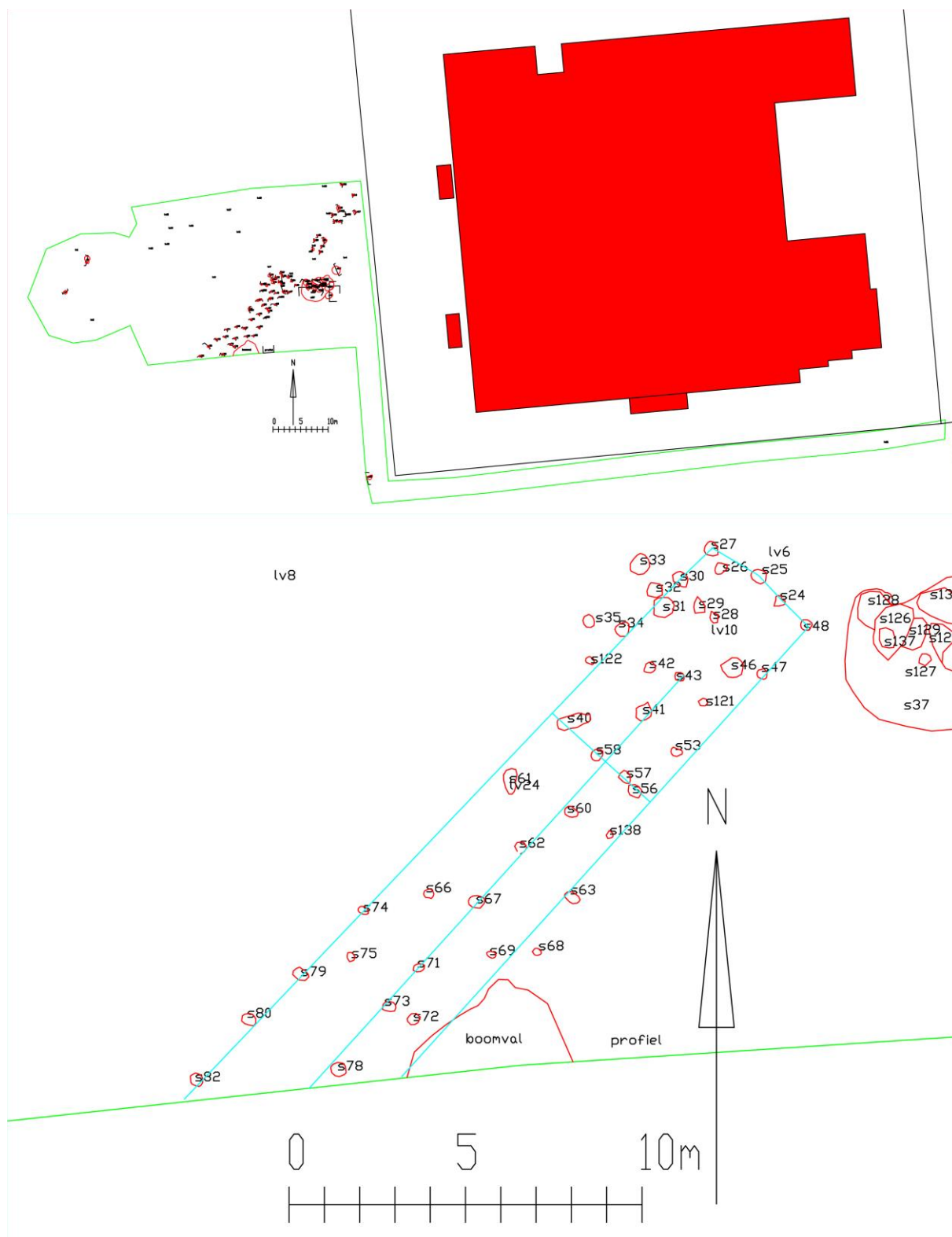


Fig. 3.4 Overzichtsplan en detail van windmolen 3.



Fig. 3.5 Overzichtplan van windmolen 4.

3.3 Bespreking van de sporen

Verspreid over de locaties van de vier windmolens werden in totaal 149 sporen geregistreerd.

Tijdens het onderzoek van **windmolen 1** werden 3 sporen geregistreerd, sporen S130 tot S132. Spoor S130 bleek, na het couperen, natuurlijk te zijn. Spoor S131 (fig. 3.6) is waarschijnlijk een leemontginningkuil geweest. Hierlangs ligt S132 dat verschilt van vulling met S131, maar in het profiel bleek dat het toch bij dit spoor te horen. De interpretatie als leemontginning wordt vooral ingegeven doordat de onderkant van het spoor gekenmerkt wordt door spitsporen. Deze sporen werden, gezien de omvang, machinaal gecoupeerd.

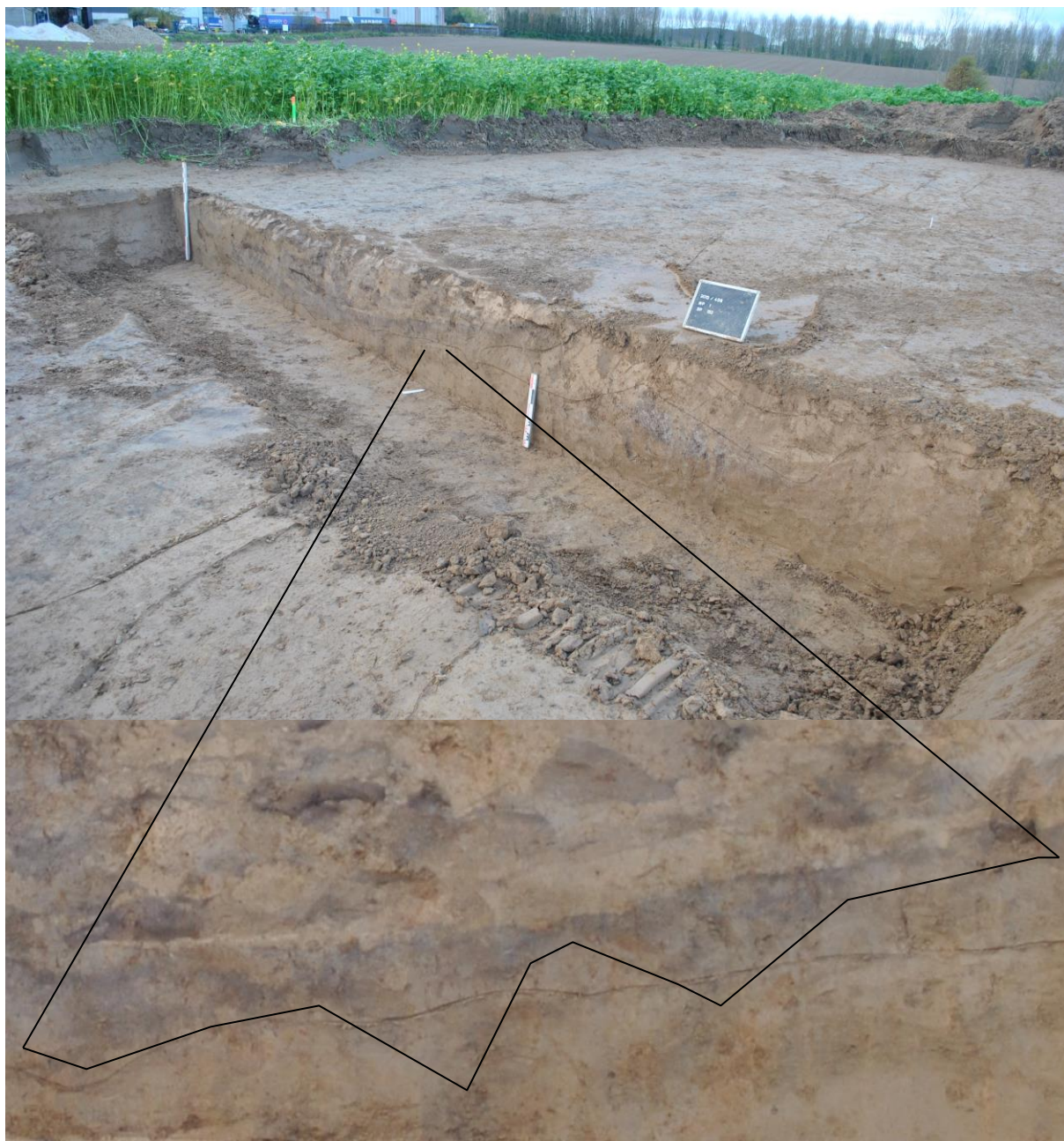


Fig. 3.6: De coupe van S131 en S132 met een uitvergroting van enkele spitsporen.

Windmolen 2 bevatte 9 sporen (sporen S140 tot en met S149). Hiervan bleken 2 sporen (S140 en S146) natuurlijk te zijn. Spoor S141 was een recente kuil (fig. 3.7). Sporen S143, S144, S145, S147, S148 waren kleine paalkuilen van éénzelfde palencluster (fig. 3.8).



Fig. 3.7: De coupe van S141.

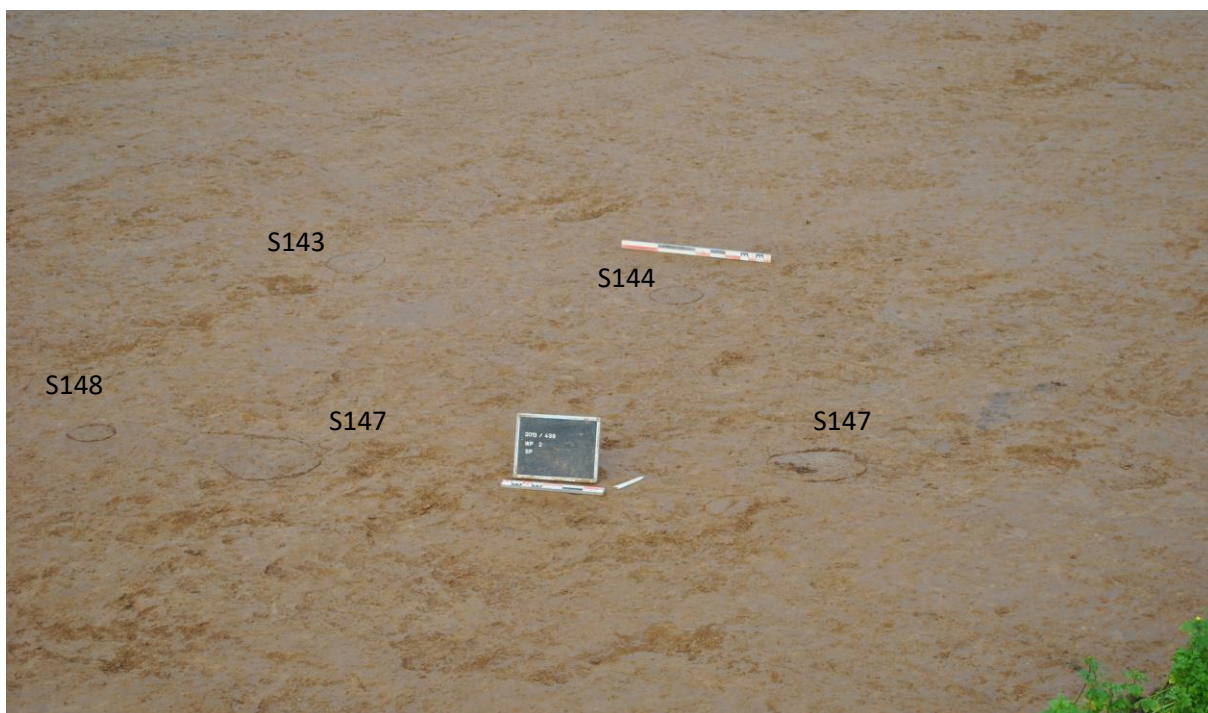


Fig. 3.8: Overzicht van de palencluster.

Gezien de sporen langs de putwand lagen en ze zeer slecht bewaard bleken te zijn, kon hierin geen echte structuur (fig. 3.9) herkend worden. Waarschijnlijk zijn er een heel deel palen niet bewaard gebleven ten gevolgen van erosie (fig. 3.10). Ongeveer 11 m meer naar het zuiden, tegen de putwand aan, lag nog een paalkuil (S149). Ook deze bleek ondiep bewaard te zijn.

In paalkuil S145 werden handgevormde scherven aangetroffen (datering bronstijd-ijzertijd). Deze scherven zijn zeer slecht bewaard en zijn niet nader te dateren.

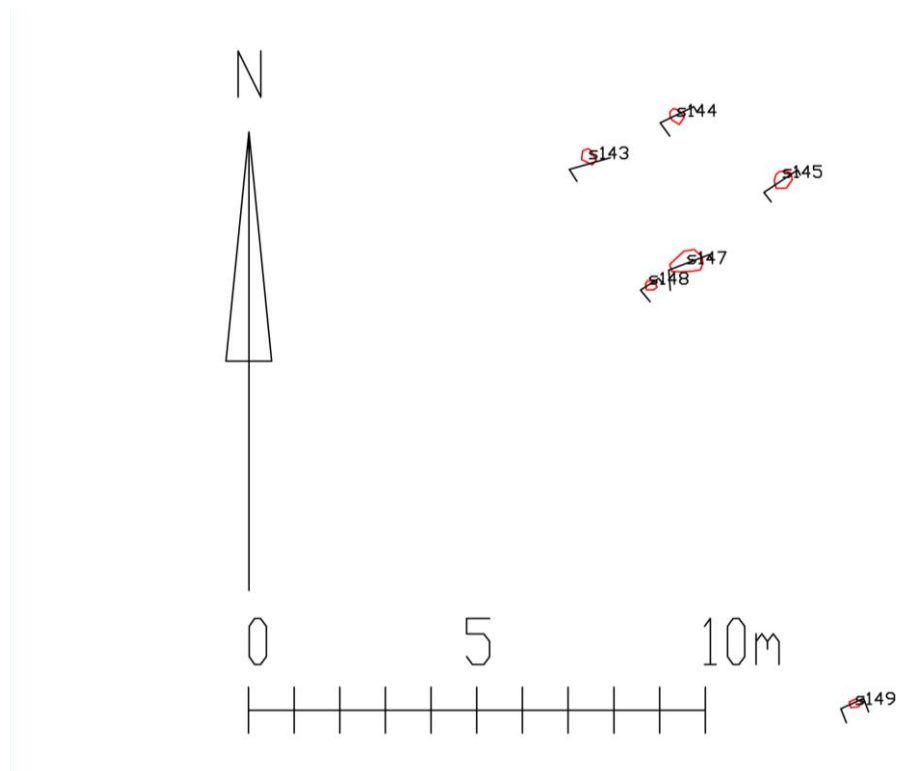


Fig. 3.9: Overzichtsplan van de paalkuilen aan windmolen 2.



Fig. 3.10: De coupe van S144.

Op het terrein van **windmolen 3** werden in totaal 135 sporen geregistreerd. Hiervan bleken 61 sporen na couperen natuurlijk¹⁵ te zijn. Van de 74 sporen die overbleven, zijn er 16 kuilen¹⁶ en 59 paalkuilen¹⁷. Van de kuilen kunnen er 3 (S4, S6, S115) mogelijk als recent gedateerd worden. Spoor S37 werd in het vlak opgetekend als een zeer grote, onregelmatige vlek. Bij het couperen bleken er meerdere kuilen (fig. 3.11 en 3.12) aanwezig te zijn en werd beslist het volledige spoor handmatig te verdiepen (1 schop diep, ongeveer 25 cm). Nadat de duidelijkste kuilen gecoupeerd waren, is het vlak nog 1 keer verder verdiept (25 cm) in een tweetal zones van S37. Ook hieronder bleken nog enkele kuilen zichtbaar te worden. In totaal werden onder S37 nog 9 aparte kuilen (S124, S125, S126, S128, S129, S133, S134, S135, S136) en 1 paalkuil (S127) opgetekend (fig. 3.13).

¹⁵ Negatieve of natuurlijke sporen: S3, S5, S7, S8, S9, S10, S11, S12, S13, S14, S15, S16, S17, S23, S36, S39, S44, S50, S51, S52, S54, S55, S59, S64, S65, S70, S76, S77, S81, S83, S84, S85, S86, S87, S88, S90, S92, S93, S96, S97, S98, S99, S100, S101, S102, S103, S104, S105, S106, S107, S108, S111, S112, S118, S139 en S140.

¹⁶ Spoornummer van de kuilen: S4, S6, S22, S37, S49, S115, S124, S125, S126, S128, S129, S133, S134, S135, S136 en S137

¹⁷ Spoornummers van de paalkuilen: S18, S19, S20, S21, S24, S25, S26, S27, S28, S29, S30, S31, S32, S33, S34, S35, S40, S41, S42, S43, S46, S47, S48, S53, S56, S57, S58, S60, S61, S62, S63, S66, S67, S68, S69, S71, S72, S73, S74, S75, S78, S79, S80, S82, S89, S91, S94, S95, S109, S110, S113, S114, S117, S119, S120, S122, S123, S127 en S138

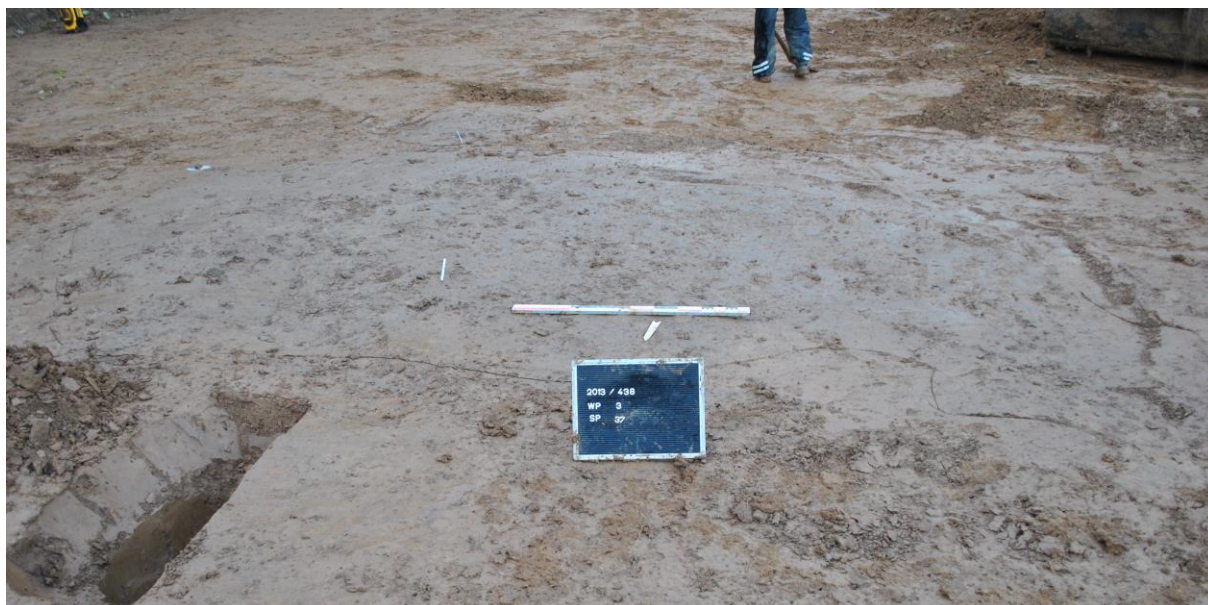


Fig. 3.11: vlakfoto, vlak 1 van S37.



Fig. 3.12: Vlakfoto, vlak2 onder S37.

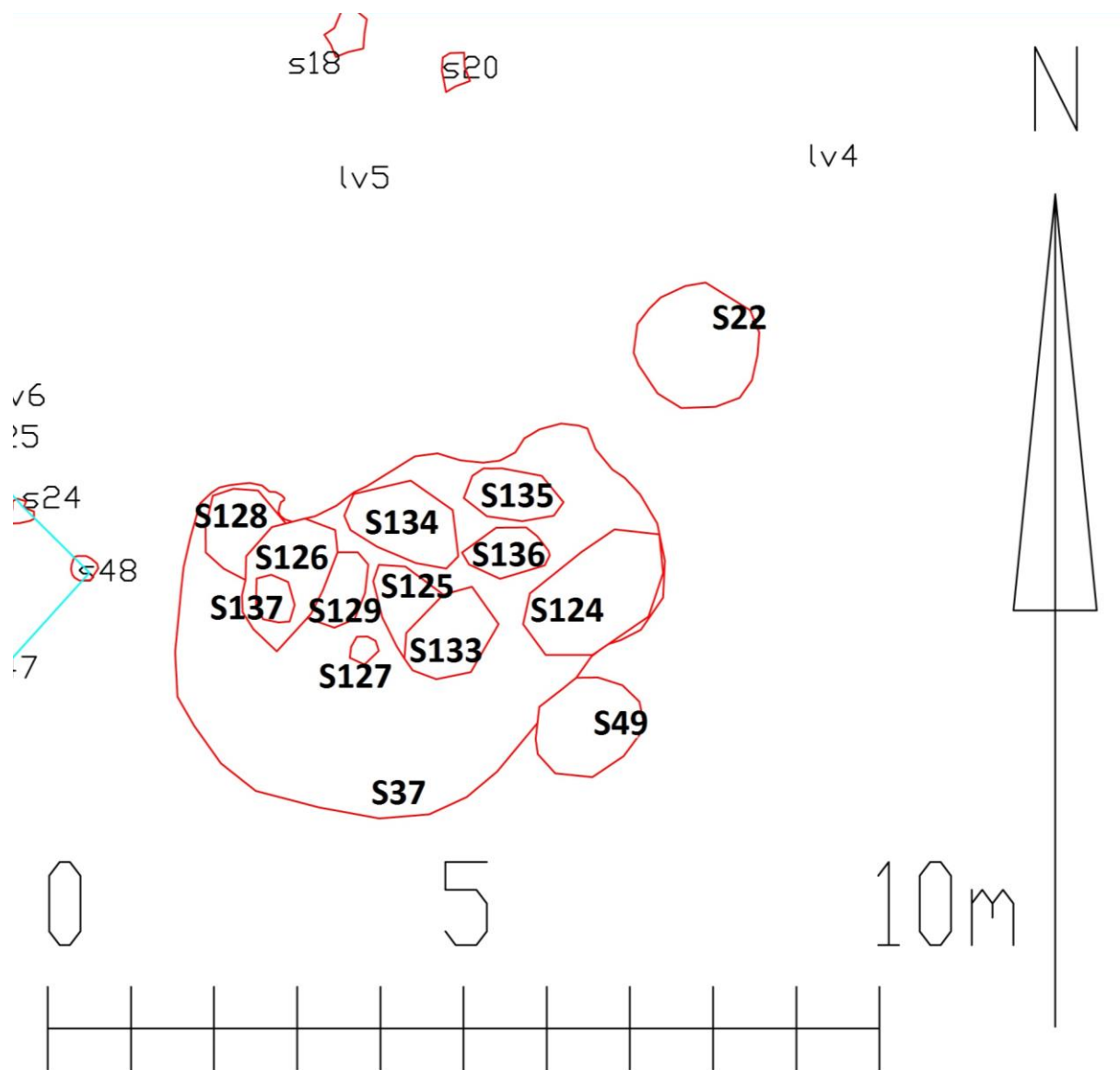


Fig. 3.13: Overzicht van de kuilen onder S37.

Deze kuilen kunnen mogelijk geïnterpreteerd worden als ondiepe silo's. Ook S22 en S49, gelegen naast S37, zijn gelijkaardige kuilen. Het valt op dat in enkele van deze kuilen (S22, S49, S134) enkele volledige potten werden aangetroffen. Deze lagen telkens ondersteboven op de bodem van de kuil (fig. 3.14).



Fig. 3.14: Enkele werkfoto's van de omgedraaide potten in S134 en S49.

Het voorkomen van 4 omgedraaide potten op de bodem van deze kuilen doet vermoeden dat er een soort ritueel heeft plaats gevonden (verlatingsritueel?). Op basis van het aardewerk kan een datering ofwel in de late bronstijd, ofwel in de midden-ijzertijd verondersteld worden.

De 58 paalkuilen kunnen onderverdeeld worden in 4 verschillende groepen.

Een eerste groep paalkuilen hoort toe aan een hoofdgebouw (S24, S25, S26, S27, S28, S29, S30, S31, S32, S33, S34, S35, S40, S41, S42, S43, S46, S47, S48, S122, S121, S53, S56, S57, S58, S60, S61, S140, S138, S62, S63, S139, S66, S67, S68, S69, S71, S72, S73, S74, S75, S78, S79, S80, S82) met een NO-ZW oriëntatie. De middenstaanders, (S28, S41, S58, S60, S62, S67, S73 en S78) hebben een gemiddelde diepte van 20 cm terwijl de zijpalen gemiddeld maar 10 cm diep bewaard bleken te zijn.

De smalle zijde langs de noordoostelijke zijde lijkt wat rommelig. Mogelijk was hier een afzonderlijk gedeelte aanwezig met een ingang aan de noordwestzijde. Paalkuilen S32 en S33 zijn dieper ingezet (ongeveer 20 cm) dan de andere palen in de wand. De iets grotere palen en de vele palen binnen de ruimte suggereren dat dit deel steviger gebouwd was. Palen S40, S58, S57 en S56 staan haaks op de lengterichting. Vermits deze palen zeer dicht op elkaar staan en de gemiddelde diepte bijna 18 cm is, is het mogelijk dat hier een wand aanwezig was die het kortere (+/- 7 m) noordoostelijke, gedeelte afscheidde van het eigenlijke woongedeelte.

De zuidwestelijke zijde van het gebouw lag buiten het projectgebied. De totale lengte tot aan de putwand bedraagt ongeveer 21 m (fig. 3.15). De bewaarde breedte is ongeveer 4 m aan de zuidwestzijde, het woongedeelte. De noordoostelijke zijde, het stalgedeelte, is bijna 5,5 m breed.

Gezien de ingangspartijen bijna altijd in het midden van de lange zijdes tegenover elkaar gelegen zijn en deze gekenmerkt worden door dieper ingezette palen of dubbele paalzettings is de enige mogelijke ingang te zien tussen palen S79 en S80. Deze zijn iets dieper ingezet dan de andere wandpalen. Als er vanuit gegaan wordt dat dit het midden van het woongedeelte is zou het volledige woongedeelte ongeveer 23 m lang geweest zijn. Als hierbij het 'stalgedeelte' nog bijgerekend wordt kan een totale lengte van bijna 31 m bekomen worden. De tegenoverliggende ingang kon niet herkend worden door de aanwezigheid van een boomval op deze plek. Gezien de geringe diepte van de zijpalen (10 cm) en de grootte van de boomval (4,5 m) is er vanuitgegaan dat de paalkuilen onder deze boomval niet bewaard gebleven zijn.

De datering van het aanwezige aardewerk ligt tussen de late bronstijd en de midden-ijzertijd.

Een toewijzing tot een bepaalde typeplattegrond lijkt niet mogelijk, maar enkele overeenkomsten met het Elp-type vallen op. Boerderijen van het type Elp worden in de late bronstijd gedateerd. Bij deze plattegronden valt het op dat de relatie tussen de buiten- en binnenstijlen losser wordt. Er

ontstaat een duidelijke tweedeling van het huis met een woon- en een stalgedeelte¹⁸. In het stalgedeelte staan de palen dicht bij elkaar. De vroegste varianten hebben een afgerond stalgedeelte, terwijl dit later een rechte wand wordt. Het stalgedeelte loopt breder uit. Vanaf de late bronstijd wordt de opslag van gewassen in kleinere bijgebouwen gedaan. De afmetingen van het onderstaande voorbeeld (fig. 3.16) geven een gebouw weer dat een woongedeelte heeft van 4 m breed en een stalgedeelte dat bijna 6 m breed is. Dit is ook het geval bij de structuur in Asse. Er is een duidelijke tweedeling tussen woon- en stalgedeelte die zichtbaar is door grotere stevigere palen die iets dicht tegen elkaar werden geplaatst.

Een toewijzing van de plattegrond aan het type Elp is echter niet mogelijk vermits te Asse geen binnenstijlen aanwezig zijn, maar wel een rij middenstaanders. Ook moet opgemerkt worden dat de traditie van Elp eerder ten noorden van de Maas in Nederland voorkomt en goed gekend is in Duitsland.

Er werden 2 stalen geselecteerd voor 14C-datering uit sporen S63 en S48. Enkel het staal uit spoor 63 kon gedateerd worden waarbij de structuur tussen 750 en 400 v. Chr. (vroeg ijzertijd tot de eerste helft van de midden ijzertijd) gedateerd wordt. Mogelijk gaat het dan ook om een nieuw bouwtype, want er zijn voor de ijzertijd geen gelijkaardige plattegronden gekend.

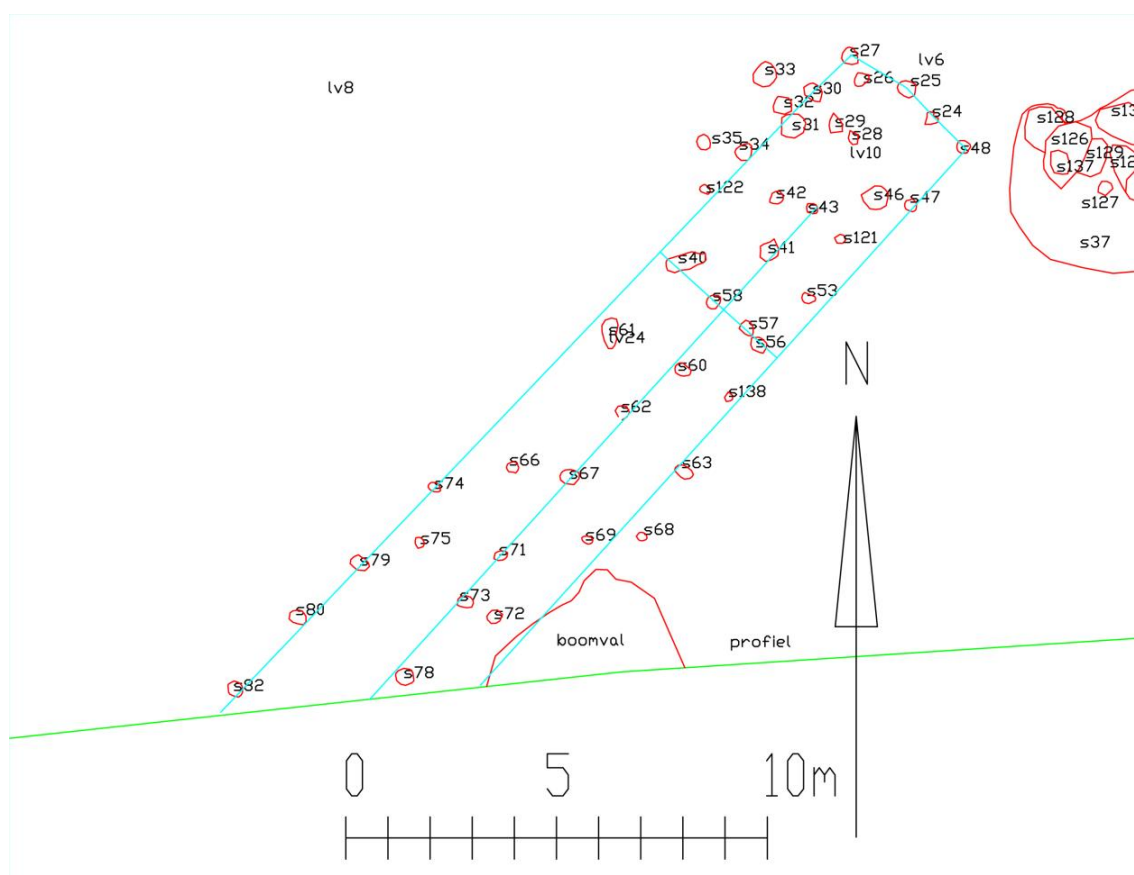


Fig 3.15: Overzichtsplan van het hoofgebouw bij windmolen 3.

¹⁸ Kooijmans e.a. 2005: 543-545.

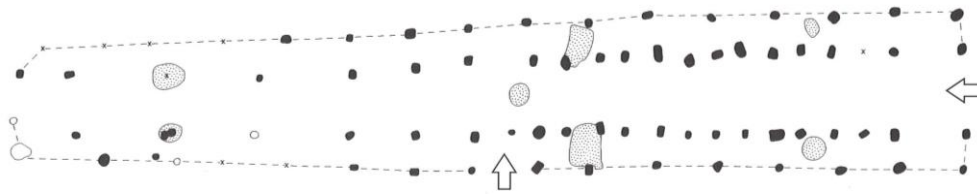


Fig. 3.16: Plattegrond van een woon-stalhuis van het type Elp, uit Elp¹⁹.

Ongeveer 14 m naar het noordoosten, in de lengteas van de hoofdstructuur, ligt een klein vierpalig gebouw (fig. 3.17). Gezien de oriëntatie en de ligging van dit gebouw is het mogelijk dat dit gebouw eenzelfde datering heeft. Gezien de bewaarde diepte (gemiddeld 30 cm) van de palen kan verondersteld worden dat het een stevige constructie moet geweest zijn. Hierdoor kan dit gebouw als een spieker of opslagplaats geïnterpreteerd worden (S94, S109, S110-119 en S120). Dergelijke structuren zouden een hogere opbouw gehad hebben zodat ook de palen dieper moesten ingezet worden. Soms wordt gezegd dat deze structuren een verhoogde vloer zouden hebben en dus ook een stevigere structuur zouden nodig hebben. Dit verklaart dan ook de diepere palen. In paalkuilen S110 en S119 werd handgevormd, besmeten aardewerk aangetroffen dat tussen de vroege ijzertijd en de vroeg Romeinse periode gedateerd kan worden.

Op een staal uit paalkuil S109 werd een ¹⁴C-datering uitgevoerd. Hierdoor kan deze structuur tussen 790 en 480 v. Chr. gedateerd worden, wat ook overeen komt met de datering van de hoofdstructuur.

Bijna 2 m ten oosten van S120, ligt de hoekpaal (S117) van een gebouw dat slechts gedeeltelijk in de opgegraven zone lag. Er werd 1 middenstaander aangetroffen, S114 (fig. 3.18), die een maximale diepte van ongeveer 97 cm had. Er konden nog twee wandpalen geregistreerd worden, S113 en S117, met een respectievelijke diepte van 30 en 35 cm. De breedte van het gebouw zal ongeveer 6 m geweest zijn. Het had een NOO-ZWW oriëntatie (fig. 3.17).

¹⁹ Kooijmans e.a. 2005: 544.

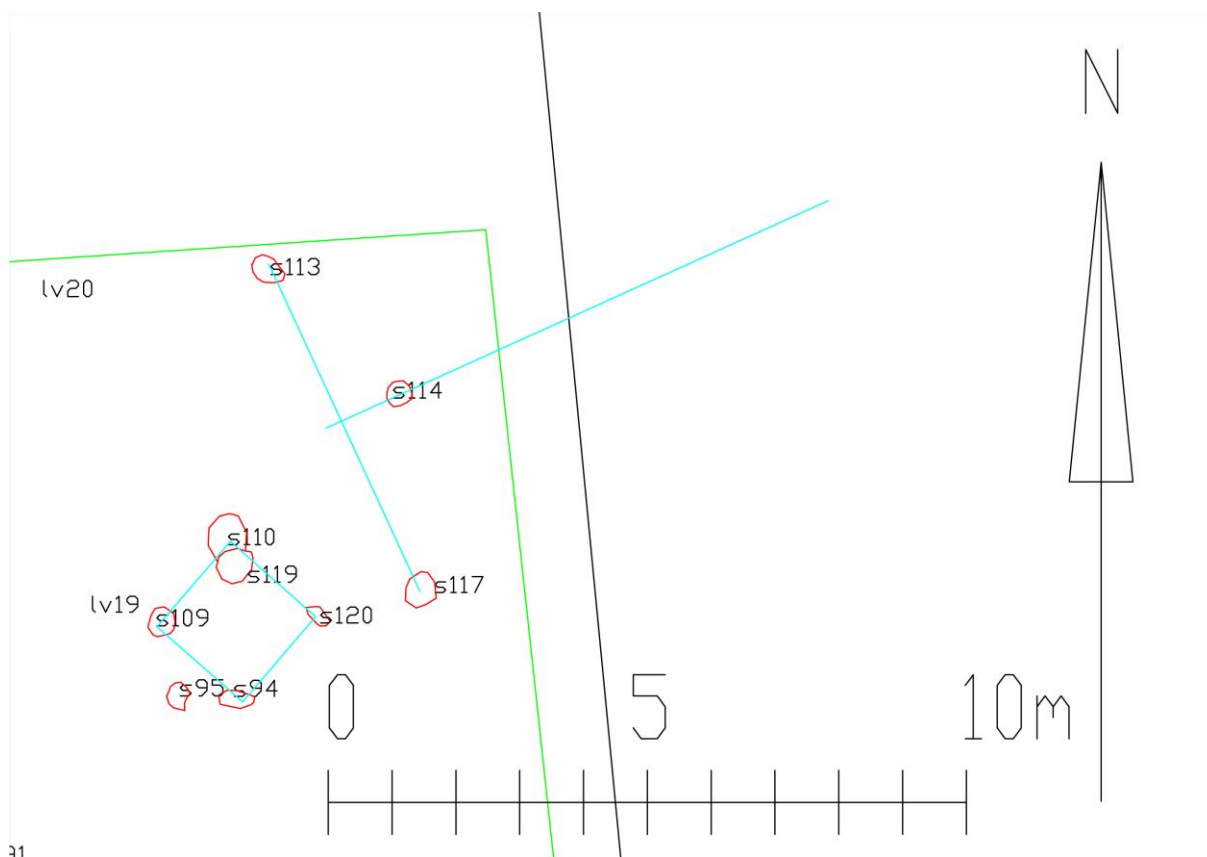


Fig. 3.17: Overzichtsplan van de spieker en de gedeeltelijke Alphen-Ekeren plattegrond.



Fig. 3.18: De coupe van S114.

Deze drie paalkuilen hebben waarschijnlijk behoord tot een gebouwplattegrond uit de Romeinse periode. De datering wordt vooral ingegeven door het voorkomen van een bijna 1 m diepe middenstaander. Deze zijn typisch voor de vroeg-Romeinse periode en kunnen toegeschreven worden aan het Alphen-Ekeren gebouwtype. Binnen deze werkput werden geen andere vondsten of sporen aangetroffen die Romeins gedateerd kunnen worden.

Een ^{14}C -datering op houtskool gaf een datering tussen 770 en 420 v. Chr. Momenteel wordt er van uitgegaan dat het het genomen staal als opspit moet geïnterpreteerd worden, want een gelijkaardige palensetting en profiel is helemaal niet typisch voor deze periode, maar wel voor de Romeinse gebouwen van het type Alphen-Ekeren. Bijkomend onderzoek in de onmiddellijke omgeving kan mogelijk meer uitsluitsel geven.

Tot slot werd nog een palencluster (S18, S19, S20, S21, S89, S91) geregistreerd waarin geen structuur kon herkend worden (fig. 3.19).

Deze cluster ligt op de lengteas van het hoofdgebouw net tussen het hoofdgebouw en de kleine vierpalige spieker. Mogelijk gaat het ook hier om een klein bijgebouw waarvan de paalzettingen eerder slordig gebeurde. Het aangetroffen aardewerk kon tussen de late bronstijd en de vroeg Romeinse periode gedateerd worden.

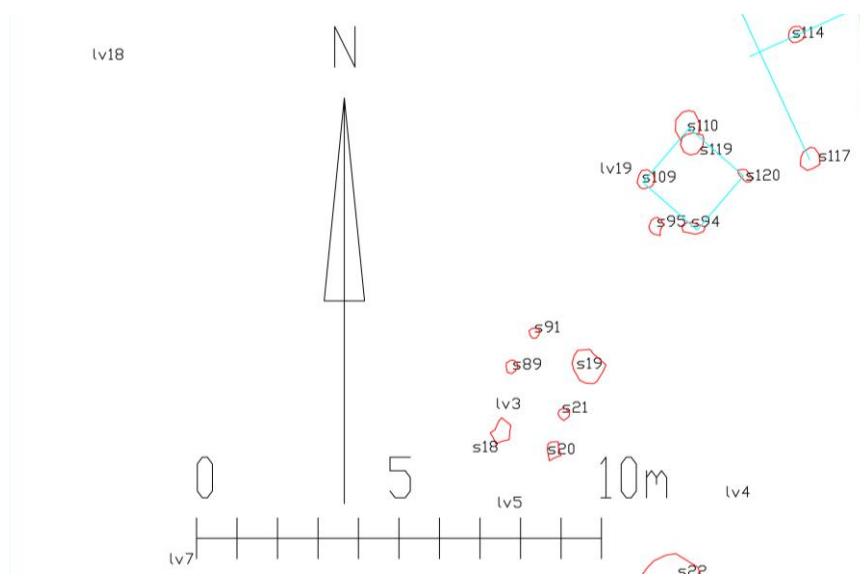


Fig. 3.19: Overzichtsplan van palencluster.

De werkput van **windmolen 4** bevatte slechts 2 sporen. Eén rechtlijnige greppel (S1) had een onregelmatig profiel (fig. 3.20) waarin 4 verschillende lagen konden opgetekend worden. Laag 1 had een lichtgrijze tot witte kleur. Laag 2 was bruin met lichtgrijze vlekken en houtskoolspikkels. Laag 3 had een bruine tot lichtbruine kleur en laag 4 was lichtgrijs met grijze gevlekken.

Bij de aanleg van het vlak werden 3 kleine scherven handgevormd aardewerk aangetroffen. De datering is ruim tussen de vroege ijzertijd en de vroeg Romeinse periode.



Fig. 3.20: De coupe van S1 in werput 4.

Deze greppel oversnijdt een klein cirkelvormige greppeltje (S2) met een houtskoolrijke vulling. Hierdoor is de bewaring van S2 zeer slecht. Het kon niet uitgemaakt worden of het wel echt een greppeltje is, of toch eerder de restant van een boomval (fig 3.21).



Fig. 3.21: De restanten van S2.

Hoofdstuk 4 Resultaten van de vondsten

In totaal werden 758 individuele vondsten aangetroffen. Hiervan zijn, binnen 67 vondstnummers, verschillende individuen afkomstig van hetzelfde stuk. Dit brengt het aantal MAE (Minimum Aantal Eenheden) op 124. Binnen de vondsten werden er naast ceramiek (N=698, MAE=106) ook silex (N=5, MAE=5), metaal (N=29, MAE=3), bouw materiaal (N=11, MAE=5) en natuursteen (N=17, MAE=8) aangetroffen²⁰.

4.1 Indeling en telling

Het totaal aantal scherven bedraagt 698 met een MAE van 106 stuks. In onderstaande tabel worden de aantallen per bakseltype weergegeven. Hierbij valt op dat bijna 82% een magering met potgruis vertoont. Slechts bij 10% kon een organische magering opgemerkt worden. Bijna de helft (43,69%) van het gevonden aardewerk bleek besmeten te zijn.

Rapportveld	aantal	aantal percentage
ND	2	1,94%
HG	8	7,77%
HG-OR	11	10,68%
HG-PG	5	4,85%
HG-PG-BS	45	43,69%
HG-PG-NB	32	31,07%

ND: niet gedefiniëerd

HG: Handgevormd

OR: Organisch

PG: Potgruis

BS: Besmeten

NB: Niet besmeten

4.2 Methoden en werkwijzen

Al het vondstenmateriaal dat werd aangetroffen, werd ingezameld. Van de aangetroffen vondsten werd een assessment gemaakt, dit wil zeggen dat er een eerste determinatie werd gedaan zonder dieper in detail te gaan of de twijfelgevallen alsnog proberen te determineren.

4.3 Resultaten

Tijdens het onderzoek in Asse werd, buiten de Romeinse bouwceramiek in werkput 1, enkel handgevormd aardewerk gevonden. Dit aardewerk werd op basis van van den Broeke²¹ ingedeeld in verschillende categorieën. Eerst werd er gekeken naar de soort magering. Daar werd onderscheid gemaakt tussen de ceramiek met organische magering en ceramiek met chamotte- of

²⁰ Vermits enkel binnen de groep van aardewerk determineerbaar materiaal aanwezig was, worden de andere vondstcategorieën niet verder behandeld.

²¹ Van den Broeke 2013.

potgruismagering. Binnen dit laatste aardewerk werd dan het onderscheid gemaakt tussen het besmeten en het onbesmeten aardewerk. Besmeten aardewerk is aardewerk waarbij gedeeltelijk of geheel de buitenzijde met een kleipapje werd ingesmeerd of beklodderd. In de midden-ijzertijd werd deze besmijting zeer geprononceerd²². Bij het onbesmeten aardewerk kan nog onderscheid gemaakt worden tussen ruwwandig onbesmeten aardewerk en gepolijst onbesmeten aardewerk. Dit onderscheid werd hier niet gemaakt omdat, volgens artikel 78 van de minimumnormen, er een basisregistratie van de mobiele vondsten in het rapport moet worden opgenomen. Per materiaalsoort en daarbinnen per vondstgroep moeten de technische groepen en vormengroepen geteld worden, op zo een wijze dat de verschillende materiaalspecialisten aan de hand van het basisrapport kunnen zien of de materiaalgroepen waarmee zij zich bezighouden, op de vindplaats zijn aangetroffen. In de vorm van de tabel in bijlage 2 is hieraan voldaan.

Een absolute datering op basis van aardewerk is in het geval van prehistorisch aardewerk niet mogelijk zonder natuurwetenschappelijke dateringsmethoden. Voor de ijzertijd in Vlaanderen is op dit moment geen synthetiserende studie van het aardewerk aanwezig. Tijdens de assesment van het aardewerk uit Asse is daarom gebruik gemaakt van het werk van van den Broeke, dat hoofdzakelijk gebaseerd is op het handgevormd aardewerk uit Oss-Ussen (Nederland). Asse valt buiten de kernregio van het onderzoek van van den Broeke. Asse valt in de periode 850/825-300/275 v. Chr. wel binnen het toepassingsgebied van het opgestelde aardewerkschema²³.

Het aardewerk met organische magering (fig. 4.1) was goed voor ongeveer 10% van al het aardewerk. Dit aardewerk viel al tijdens het inzamelen volledig uit elkaar. De resten maakten waarschijnlijk deel uit van weefgewichten. Het merendeel van de gevonden 'scherven', werd gevonden in S37 of in één van de kuilen die daaronder zaten (S124, S126 en het naburige S40).



Fig. 4.1: Aardewerk met organische magering (S49).

²² Van den Broeke 2013: 104.

²³ Van den Broeke 2013: 149.

Bodems

In totaal werden 23 bodems ingezameld. Het merendeel van de bodems waren te gefragmenteerd om veel informatie te geven over het type pot waartoe ze behoorden of hoe de bodem in relatie stond met het profiel. In de meeste gevallen gaat het om een vlakke bodem, waarbij de overgang naar de wand onder een (lichte) hoek gebeurt (fig. 4.2). In 4 gevallen werd een omphalosbodem aangetroffen en bij 1 schaal een holle bodem. De omphalosbodem (fig. 4.3), een bodem met een del, wordt vaak aangetroffen bij schalen, die gewoonlijk voorzien zijn van een glad oppervlak. De combinatie met een besmeten oppervlak is uitzonderlijk. Het onderscheid tussen omphalosbodems met een doorsnede van maximum 3 cm en die met een doorsnede van meer dan 3 cm, correleert met de datering. De eerste groep wordt in Oss-Ussen gedateerd in de midden-ijzertijd, op meer regionaal vlak komt dit bodemtype al herhaaldelijk terug in het (graf)aardewerk van de late bronstijd. Tijdens de vroege ijzertijd lijkt het maar zelden toegepast, om dan een piek te krijgen in de midden-ijzertijd, om in de late ijzertijd weer zo goed als te verdwijnen. De groep met de omphalos groter dan 3 cm is al gekend vanaf de late bronstijd. In tegenstelling tot de eerste groep verdwijnt deze echter niet in de vroege ijzertijd en wordt deze bodem lange tijd toegepast, zij het wel in mindere mate dan de eerste groep²⁴.



Fig. 4.2: Voorbeelden van bodems met overgang naar wand onder lichte hoek (S37, S37L0 en S49).

²⁴ Van den Broeke 2013: 96-97.



Fig. 4.3: Omphalosbodem (S37L1).

Randen

Omdat het aardewerk zoals gezegd zeer gefragmenteerd is, is het moeilijk om op basis van de randen een profiel te vormen van het aardewerk. Daarom werd besloten om de randvorm zelf te bekijken en deze te classificeren aan de hand van de randtypologie van van den Broeke²⁵. Het classificeren gebeurde, net als bij van den Broeke, onafhankelijk van de stand van het uiteinde van de pot.

In totaal werden 32 randen ingezameld. Het valt op dat de meeste randen deel uit maken van type B, met een ongefaccineerde, verdikte rand (fig. 4.4). Binnen type B maakt van den Broeke onderscheid tussen 3 types: de randen met een verdikte binnenzijde (B1), de randen met een ronde tot hoekige verdikking aan de buitenzijde, met eventueel ook een verdikking aan de binnenzijde (B2) en de randen een spitse verdikking aan de buitenzijde, de zogenaamde randlip, met eventueel ook een verdikte binnenzijde (B3). Voor type B-randen kan gesteld worden dat ze pas populair worden aan het begin van de midden-ijzertijd. Vooral bij type B2 valt de enorme groei op. Wel zijn ook hier voorbeelden gekend uit de late bronstijd²⁶.

²⁵ Van den Broeke 2013: 89-92.

²⁶ Van den Broeke 2013: 89.



Fig. 4.4: Voorbeelden van randen met ongefaccineerde, verdikte rand (S37L0 en S124L1).

Versiering

In S125 en S37L1 werden 2 scherven gevonden met nagel- of vingerindrukken. Het eerste stukje uit S125 is zo klein, ongeveer 3 cm breed, waardoor het niet mogelijk is om te zeggen of het gaat om een band van indrukken en waar op de pot ze stonden. Er zijn 2 vingerindrukken (fig. 4.5) die op dezelfde rij lijken te staan. Bij de tweede scherf, die bestaat uit 2 passende stukken, is er een band van nagelindrukken (fig. 4.6). Ze zijn geplaatst net boven de rompknik. Onder de knik is de wand besmeten is, erboven niet.

In S134 werd een schaal gevonden met kamstreekversiering (fig. 4.7).



Fig. 4.5: Scherf met vingerindrukversiering (S125).



Fig. 4.6: Scherf met nagelindrukversiering (S37L1).



Fig. 4.7: Scherf met kamstreekversiering (S134).

Archeologisch complete exemplaren

In 3 contexten werd een archeologisch compleet exemplaar gevonden. Deze exemplaren zijn belangrijk omdat de combinatie van vorm, het bodem- en randtype, de afwerking van de buitenzijde, en eventuele versieringen kunnen gebruikt worden als dateringsmiddel.

S22

Op de bodem van S22 (fig. 4.8) werd een zwaar secundair verbrand onbesmeten kommetje (fig. 4.9, bijlage 3) gevonden, dat afgedekt was met de bodem van een andere pot. Het kommetje heeft een geknikt profiel, is ongeveer 6,5 cm hoog en heeft een doorsnede bovenaan van ongeveer 12 cm. De knik ligt ongeveer halverwege de hoogte. Door de secundaire verbranding is het moeilijk om de oorspronkelijke vorm van de rand te achterhalen. Ook de vorm van het profiel is hierdoor mogelijk vervormd. De bodem heeft een omphalos met een doorsnede van 3 cm. Dit kommetje werd gedetermineerd als type 31 van de typologie van Van den Broeke. Dit is een open tot licht gesloten hoge schaal of kom, met rompknik beneden halve hoogte; boven de knik volgt een steil, knikloos traject, waarin een schouder en bovendien een hals kunnen voorkomen. Dit type is al gekend in de grafcontexten van de late bronstijd en kent een zeer kleine piek in de midden-ijzertijd²⁷.



Fig. 4.8: Kommetje *in situ* (S22).

²⁷ Van den Broeke 2013: 59.

Fig. 4.9: Kommetje *ex situ* (S22).

Binnen S22 werden ook een aantal onbesmeten scherven gevonden die samengevoegd konden worden. Dit vormde een wandprofiel met buik- en schouderknik (fig. 4.10, bijlage 3) met bijhorende randfragmenten. De rand wordt gekenmerkt door een lichte verdikking aan de buitenkant. Omdat er onder de buikknik geen scherven bewaard zijn, is het moeilijk om het volledig profiel samen te stellen. Met enige voorzichtigheid, kan het als type 33, 34 of 35 geïdentificeerd worden. Type 33 is een licht tot ruim gesloten hoge schaal of kom, met rompknik op of boven de halve hoogte; op de schouders volgt eventueel nog een uiterst korte hals. Type 34 en 35 zijn ongeveer hetzelfde met het verschil in de hoogte van de rompknik. Bij type 34 ligt deze ruim boven de halve hoogte, bij type 35 omstreeks de halve hoogte. Type 35 heeft ook geen hals.

Deze biconische vorm is in eerste instantie gangbaar geweest in de late bronstijd. Vervolgens is er een piek tijdens de midden-ijzertijd²⁸.

²⁸ Van den Broeke 2013: 61-62.

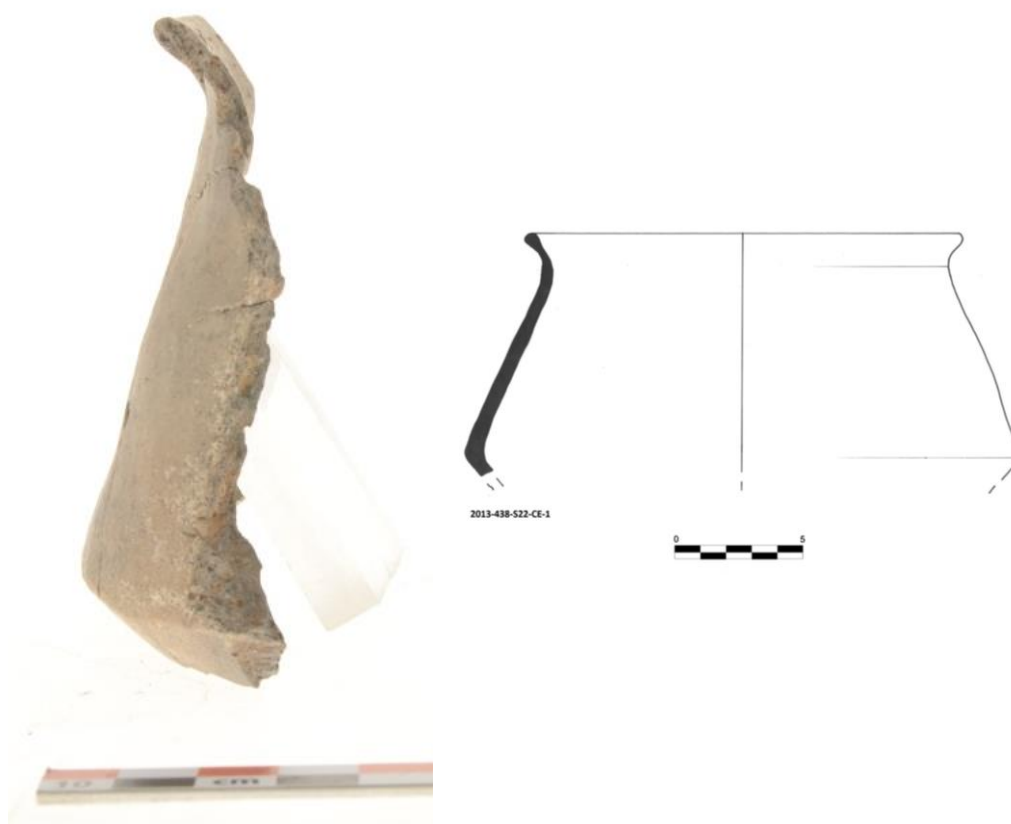


Fig. 4.10: Wandprofiel kom (S22).

S49

Onderaan S49, in laag 2 (fig. 4.11), werd een onbesmeten kommetje gevonden dat op haar zij lag. Het gaat om een kommetje met een rompknik en een kleine rechtopstaande hals (fig. 4.12, bijlage 3). De rand heeft een lichte verdikking aan de buitenkant. Het kommetje is 9 cm hoog, en heeft bovenaan een doorsnede van 10 cm. De knik ligt halverwege de totale hoogte. De bodem wordt gekenmerkt door een omphalos, met een doorsnede van 4 cm. Dit kommetje werd geïdentificeerd als een type 35.



Fig. 4.11: Kommetje *in situ* (S49L2).



Fig. 4.12: Kommetje *ex situ* (S49L2).

S134

In S134 werden 2 onbesmeten schalen gevonden, die ondersteboven op elkaar gestapeld (fig. 4.13) waren. De bovenste schaal heeft kamstreekversiering, de onderste heeft geen versiering. De twee schalen werden samen *en bloc* gelicht, maar de bovenste schaal was zwaar beschadigd, waardoor ze

bij het reinigen uiteen gevallen is in zeer kleine stukjes. Het was wel nog mogelijk om het profiel terug samen te stellen.

De bovenste schaal (fig. 4.14, bijlage 3) was ongeveer 8 cm hoog en heeft een holle bodem met ongeveer 7 cm doorsnede. De diameter op de knik is 20,5 cm.. De rand lijkt geen verdikking aan binnen- of buitenkant gehad te hebben. De wandknik ligt boven de helft van de totale hoogte. Ze vertoont een horizontale strook kamversiering aan de bodem met parallelle verticale streken over de buik.

De onderste schaal (fig. 4.15, bijlage 3) kon wel grotendeels gereconstrueerd worden. Deze schaal is ongeveer 9 cm hoog en heeft bovenaan een doorsnede van ongeveer 19 cm. De bodem wordt gekenmerkt door een omphalosbodem met een doorsnede van ongeveer 3 cm en vertoont sporen van slijtage. Ook hier wordt het profiel gekenmerkt door een knik, net iets boven de helft van de totale hoogte. De rand vertoont een lichte verdikking aan zowel de binnen- als de buitenkant. Deze schaal was onversierd.

Beide schalen werden geïdentificeerd als een schaaltype 32. Dit is een licht gesloten schaal met rompknik, zonder hals of met uiterst korte hals. Bij dit type komt relatief vaak wandversiering voor, altijd in de vorm van kamversiering op de buik. De rand is opvallend vaak aan de buitenzijde verdikt, of zelf meervoudig gefacetteerd en nooit versierd. De bodem heeft gewoonlijk een vloeiend verloop naar de wand. Dit soort aardewerk kent haar hoogtepunt in fase F (450-375 v. Chr.) van het Oss-Ussen aardewerk²⁹.



Fig. 4.13: De twee schalen *in situ* (S134).

²⁹ Van den Broeke 2013: 59.



Fig. 4.14: Wandprofiel schaal met kamstreekversiering (S134).



Fig. 4.15: Schaal zonder versiering (S134).

4.4 Conclusie

Het vondstenmateriaal is grotendeels afkomstig uit een cluster van voorraadkuilen (vlak 1, S37). Het lijkt er op dat het materiaal eerder als een soort rituele depositie in de kuilen werd geplaatst. De nog aanwezige volledige vormen bleken namelijk alle ondersteboven geplaatst te zijn op de bodem van een kuil. Dergelijke deposities zijn al vaker waargenomen, onder andere in midden-ijzertijd silo's te Kuntich-Medekensveld³⁰, maar ook te Sint-Niklaas³¹ kon een dergelijk fenomeen vastgesteld worden. Te Oss-Mettegeupel is een goed voorbeeld gekend waarbij een late bronstijd pot op zijn kop over een varkenskaak en graan in een kuil geplaatst was³². Ook te Gent-Hogeweg³³ kon een ondersteboven geplaatste pot in een kuil vol verbrand graan opgegraven worden.

Het aanwezige vondstenmateriaal wijst uit dat het merendeel van de vondsten uit deze cluster van voorraadkuilen lijkt te wijzen op een datering ofwel in de late bronstijd, ofwel in de midden-ijzertijd.

³⁰ Smeets 2008.

³¹ Bakx & Smeets 2014: 49-50.

³² In Roessingh & Blom: 2012, 126 wordt naar deze vondst verwezen. De opgraving uitgevoerd door de Universiteit Leiden in de periode 1993-95 is nog niet gepubliceerd.

³³ Dyselinck 2012: 26, fig.4.

De aanwezigheid van de plattegrond die wat afmetingen betreft, eerder in de bronstijd gedateerd zou moeten worden lijkt deze datering te bevestigen.

Hoofdstuk 5 Resultaten van de staalnames

De stalen bevatten kleine aantallen verkoolde macroresten van granen en/of wilde soorten, met uitzondering van S49L2. De aantallen zijn klein en de conservering is slecht. De kans dat er nog meer soorten worden aangetroffen is klein. Verder onderzoek lijkt daarom niet zinvol.

In staal "S134 (met kamversiering)" werden zeer veel kleine fragmentjes aardewerk opgemerkt.

spoor	laag	analyse?	verkoold						onverkoold						gebruiksgewassen	wilde vegetaties	aardewerk	subrecente macroresten	bot	det. houtskool	opmerkingen	
			cultuur			wild			cultuur			wild										kwal
			taxa	N	kwal	taxa	N	kwal	taxa	N	kwal	taxa	N	kwal								
49	1	nee	1	e	3	e	S	graan	akkeronkruiden	.	x	.	e	alles geselecteerd voor 14C			
49	2	nee	x	.	.	.			
124	1	nee	1	e	2	e	S	graan	akkeronkruiden	.	x	.	+	.			
134	kam	nee	1	e	.	.	S	emmertarwekaf	.	+++	x	.	e	kleine frag. aardewerk			
134	zkam	nee	1?	e	.	.	S	graan?	.	e	.	e	e	kleine frag. aardewerk			

Hoofdstuk 6 Interpretatie van de vindplaats

6.1 Relatieve datering op basis van de vondsten

Op basis van het aangetroffen materiaal kunnen de cluster van kuilen, mogelijk te interpreteren als voorraadkuilen of silo's, gedateerd worden ofwel in de late bronstijd, ofwel in de midden-ijzertijd. Een argument om de silo's te datering in de midden-ijzertijd is het feit dat, in de leemstreek, silo's geclusterd voorkomen vanaf de midden-ijzertijd³⁴. Het voorkomen van het aardewerk, dat onderste boven op de bodem van de kuilen werd gevonden, is een gebruik dat reeds in de late bronstijd kon worden vastgesteld te Oss-Mettegeupel³⁵. Naast deze cluster ligt een plattegrond, die op basis van de afmetingen toch eerder in de late bronstijd zou moeten gedateerd worden. Het aardewerk uit de sporen van de plattegrond is te fragmentair om hierover uitsluitsel te kunnen geven.

De gedeeltelijke plattegrond, met één diepe middenstaander kan waarschijnlijk geïnterpreteerd worden als een deel van een Alphen-Ekeren plattegrond, die gedateerd worden in de vroeg Romeinse periode. Het ontbreken van dateerbare vondsten kan dit echter niet bevestigen.

Omwillen van de onzeker dateringen op basis van de vondsten werden enkele ¹⁴C-dateringen uitgevoerd.

6.2 Absolute datering op basis van de natuurwetenschappelijke dateringen

Alle stalen waarvoor een datering bekomen werd, werden gedateerd tussen 790 en 400 v. Chr. (vroeg tot de eerste helft van de midden ijzertijd). Voor spoor S113, een zijpaal van waarschijnlijk een vroeg-Romeinse structuur, is de datering dus sterk afwijkend. Hoogst waarschijnlijk is het gedateerde staal opspit geweest vanuit de oudere sporen of lagen, want op basis van de palensetting en de profielen moet toch eerder aan een gebouwtype Alphen-Ekeren gedacht worden.

Voor de andere structuren en kuilencluster is de datering van late bronstijd (1100-800 v. Chr.) niet bekomen op basis van de ¹⁴C-dateringen. Er moet wel opgemerkt worden dat alle stalen telkens dicht aanleunen bij de overgang tussen de late bronstijd en de vroege ijzertijd. Dit kan een verklaring zijn voor het voorkomen van een plattegrond die nog lijkt op een Elp-type gebouw, maar toch al afwijkende kenmerken heeft.

Op basis van het aardewerk zou de site ook gedateerd kunnen worden in de eerste helft van de midden-ijzertijd. Bij deze datering moet wel opgemerkt worden dat de afmetingen van de aangetroffen structuur niet meer lijken voor te komen in deze periode.

Definitief uitsluitsel is momenteel moeilijk te geven, aangezien er zowel van de late bronstijd als uit de vroege ijzertijd bijna geen gebouwplattegronden bekend zijn in de streek, wat het vergelijken sterk bemoeilijkt.

Gezien, zowel op basis van het aardewerk als op basis van de ¹⁴C-dateringen geen duidelijke resultaat gegeven kan worden, moet de site voornamelijk gedateerd worden tussen 790 en 400 v. Chr.

³⁴ www.onderzoeksbalans.be

³⁵ In Roessingh & Blom: 2012, 126 wordt naar deze vondst verwezen. De opgraving uitgevoerd door de Universiteit Leiden in de periode 1993-95 is nog niet gepubliceerd.

ASSE-MOLLEM**RICH-21055 (2013-438-S109-st-zf-1mm) : 2490±34BP**

68.2% probability
770BC (12.7%) 730BC
690BC (55.5%) 540BC
95.4% probability
790BC (95.4%) 480BC

RICH	comment		Age (BP)	error (BP)
21056	2013-438-S113-st-zf-1mm	Asse-Mollem	2465	33
21099	2013-438-S63-st-zf-1mm	Asse-Mollem	2428	33
21054	2013-438-S49L2-st-zf-1mm A	Asse-Mollem Charred grain	2469	32

RICH-21056 : 2465±33BP

68.2% probability
750BC (26.4%) 680BC
670BC (16.1%) 610BC
600BC (25.7%) 510BC
95.4% probability
770BC (95.4%) 420BC

RICH-21099 : 2428±33BP

68.2% probability
730BC (7.0%) 690BC
540BC (61.2%) 410BC
95.4% probability
750BC (19.3%) 680BC
670BC (7.3%) 610BC
590BC (68.8%) 400BC

RICH-21054 : 2469±32BP

68.2% probability
760BC (26.9%) 680BC
670BC (20.7%) 610BC
600BC (20.6%) 520BC
95.4% probability
770BC (95.4%) 420BC

References - Atmospheric data from Reimer et al (2013) JxCal v3.10 Bronk Ramsey (2005)

Niet tederen:

438-S48-st-zf-1m

Hoofdstuk 7 Synthese van de vindplaats

Conform art. 4 § 2 van het Decreet houdende Bescherming van het Archeologisch Patrimonium van 30 juni 1993 (B.S. 15.09.1993), gewijzigd bij decreet van 18 mei 1999 (B.S. 08.06.1999), 28 februari 2003 (B.S. 24.03.2003), 10 maart 2006 (B.S. 7.6.2006), 27 maart 2009 (B.S. 15.5.2009) en 18 november 2011 (B.S. 13.12.2011) zijn de eigenaar en de gebruiker ertoe gehouden de archeologische monumenten die zich op hun gronden bevinden te bewaren en te beschermen en ze voor beschadiging en vernieling te behoeden.

Daarom werd een archeologisch onderzoek gevraagd. Hierbij moeten minimaal volgende onderzoeksvragen beantwoord worden:

Zijn er sporen aanwezig op de locaties van de 4 windmolens?

Er werden vooral op de locatie van windmolen 3 sporen gevonden. Deze kunnen op basis van het vondstmateriaal en de ¹⁴C-dateringen gedateerd worden tussen 790 en 400 v. Chr.

Welke datering hebben deze sporen?

Zie vorige vraag.

Hoe kunnen deze sporen geïnterpreteerd worden?

Op de locaties van windmolen 1 (werkput 1) werd een zeer groot spoor geïnterpreteerd als een ontginningskuil. Deze interpretatie werd vooral ingegeven door de spitsporen die in de onderste laag konden worden geregistreerd.

In werkput 2 (windmolen 2) werd een palencluster van zeer slecht bewaarde paalkuilen opgegraven. In één van deze kuilen werden enkele zeer fragmentaire wandscherven gevonden. Gezien de slechte bewaring is geen interpretatie mogelijk.

Op de locatie van windmolen 3 (werkput 3) werd een plattegrond van minstens 21 m lang en 4 tot 5,5 m breed geregistreerd. Deze wordt op basis van de afmetingen en enkele overeenkomsten in opbouw in de late bronstijd gedateerd. De ¹⁴C-datering wees uit dat de structuur tussen 750 en 400 v. Chr. gedateerd kan worden. Hiernaast is nog een kleinere bijgebouw aanwezig met een identieke oriëntatie.

Er werd een kuilencluster opgegraven waarvan het aardewerk een datering ofwel in de late bronstijd, ofwel in de midden ijzertijd toelaat. De ¹⁴C-datering wees uit dat deze tussen 770 en 420 wordt gedateerd.

Tot slot werd hier nog een gedeeltelijke plattegrond van het type Alphen-Ekeren opgetekend met één diepe middenstaander en twee kleinere zijpalen. Hieruit konden geen vondsten gerecupereerd worden. Een ¹⁴C-datering op houtskool gaf een datering tussen 770 en 420 v. Chr. waardoor het genomen staal als opspit geïnterpreteerd wordt. Bijkomend onderzoek in de onmiddellijke omgeving zou meer duidelijkheid kunnen bieden, maar is niet binnen het huidige onderzoek voorzien.

Op locatie windmolen 4 werden twee sporen opgetekend. Het eerste spoor is kleine cirkelvormige greppel die zeer slecht bewaard was waardoor een interpretatie moeilijk is. Mogelijk gaat het zelfs om een boomval.

Het andere spoor was een langwerpige greppel die enkel in de wegkoffer werd opgetekend. In het vlak werden enkele kleine fragmenten handgevormd aardewerk aangetroffen, maar deze kunnen ook uit het colluvium gekomen zijn. Een datering van dit spoor is dus niet mogelijk. Gezien dat dit

spoor volledig geïsoleerd voorkwam, werd besloten het beschikbare budget te gebruiken voor de sporen die aanwezig waren op locatie windmolen 3.

Zijn er aanwijzingen voor Romeinse steenbouw in de onderzochte zones?

Hiervoor zijn geen aanwijzingen gevonden

Behoren ze tot een Romeins villadomein?

Niet van toepassing.

Zijn er aanwijzingen (topografisch, ...) voor de uitgestrektheid van het villadomein?

Niet van toepassing.

Hoofdstuk 8 Aanbevelingen

Indien de percelen gelegen in de buurt van windmolen 3 ooit verder in ontwikkeling gebracht gaan worden, bijvoorbeeld voor de uitbreiding van het industrieterrein, zal er rekening gehouden moeten worden met de aanwezigheid van sporen uit de prehistorie. Mogelijk is er zelfs een grafheuvel aanwezig geweest want op de satelietbeelden van Google Earth is, in de lengteas van de gevonden plattegrond, een cirkelvormige verkleuring te zien op de nabijgelegen percelen (fig. 8.1 en 8.2).



Fig. 8.1: satelietbeeld uit 2003 met in het rood de opgegraven zone(© Google Earth).



Fig. 8.2: satelietbeeld uit 2013 met in het rood de opgegraven zone (© Google Earth).

Bibliografie

BAKX & SMEETS 2014: Het archeologisch onderzoek aan de Eekhoornstraat te Sint-Niklaas, Tienen.

BOGEMANS F. 2005: Legende overzichtskaart Quartairgeologie Vlaanderen, Brussel

DYSELINCK T. 2012: Gent-Hogeweg, het beeld vervolledigd (prov. Oost-Vlaanderen, België), *Lunula Archaeologia protohistorica* XX, p. 23-29.

KOOIJMANS E.A. 2005: Nederland in de prehistorie, Leiden.

LOUIS A. 1965: Bodemkaart van België. Verklarende tekst bij het kaartblad 72E

LOUIS A. 1965: Kaartblad 72^E

ROESSINGH W. & BLOM E. (RED) 2012: *Graven op De Contreie. Bewoningsgeschiedenis van de Houtse Akkers te Oosterhout, van de Bronstijd tot en met de slag om het Markkanaal*, (ADC Monografie 14), Amersfoort.

SMEETS M. 2008. De archeologische opgraving aan het Medekensveld te Kuntich (stad Tienen), Tessenderlo.

VAN DEN BROEKE P.W. 2013: *Het handgevormde aardewerk uit de ijzertijd en de Romeinse tijd van Oss-Ussen. Studies naar typochronologie, technologie en herkomst*, Leiden.

VAN RANST E. & SYS C. 2000: Eenduidige legende voor de digitale bodemkaart van Vlaanderen (schaal 1:20.000), Brussel

www.agiv.be

www.dov.vlaanderen.be

www.geopunt.be

www.minfin.fgov.be

www.onderzoeksbalans.be

Google Earth

Bijlagen

Bijlage 1 Sporenlijst

SP	WP	VL	Aard	Vorm	Aflijning	Kleur	Textuur	Bijmenging	Vondsten	Afmetingen	Opmerking
1	4	1	Greppel	Langwerpig	Var	gelg. LBr m. DBr-Gr	ZeHaVa L	HK	Ce	x?x	breedte niet gekend want nog in profiel van weg
2	4	1	Greppel	Cirkel	Var	gevl. DGr-Zw	ZeHaVa L	HK, BC		32xx	doorsneden door S1, zeer slecht bewaard
3	3	1	Natuurlijk	Cirkel	ReD	DBr	ZeHaVa L	HK		38x40x	
4	3	1	Kuil	Ovaal	ZeD	gevl. DBr m. DOr-Zw vl.	ZeHaVa L	HK, VL		70x51x	
5	3	1	Natuurlijk	Cirkel	ZeD	gevl. DBr	ZeHaVa L	HK		65x66x	
6	3	1	Kuil	Onregelmatig	ZeD	LGr-Gl m. DRd-Or rand	ZeHaVa L	VL, HK		100x120x	oventje, zuidkant rood verbrande rand, rechthoekig noordkant onregelmatig, lgrgl
6L1	3	1	Vulling		ReD	LGl-Gr	ZeHaVa L		Me		
6L2	3	1	Vulling		ReS	Rd-Or m. Zw	ZeHaVa L	HK, VL			
7	3	1	Natuurlijk	Ovaal	ZeD	gevl. DBr-Br	ZeHaVa L	HK		70x83x	
8	3	1	Natuurlijk	Ovaal	ZeD	gevl. LGr-Gl m. DGr-Zw vl.	ZeHaVa L	HK		123x54x	
9	3	1	Natuurlijk	Cirkel	ReD	gevl. DBr-Br	ZeHaVa L	HK		55x50x	
10	3	1	Natuurlijk	Cirkel	ZeD	gevl. LBr-Gr	ZeHaVa L	HK		47x52x	
11	3	1	Natuurlijk	Ovaal	ReD	gevl. LGr-Gl m. DGr vl.	ZeHaVa L	HK		102x61x	
12	3	1	Natuurlijk	Ovaal	ZeD	gevl. Br	ZeHaVa L	HK		60x78x	
13	3	1	Natuurlijk	Rechthoekig	ZeD	gevl. DBr-Br	ZeHaVa L	HK		153x260x	
14	3	1	Natuurlijk	Cirkel	ZeD	Gr-Br	ZeHaVa L	HK		54x57x	
15	3	1	Natuurlijk	Ovaal	ReD	gelg. DGr-Gr m. LGr	ZeHaVa L	HK		112x89x	
16	3	1	Natuurlijk	Ovaal	ZeD	gevl. DBr-Br	ZeHaVa L	HK		50x75x	
17	3	1	Natuurlijk	Ovaal	ZeD	gevl. DBr-Br	ZeHaVa L	HK		52x41x	
18	3	1	Paalkuil	Ovaal	ZeD	LBr-Gr	ZeHaVa L	HK	Ce	53x47x	
19	3	1	Kuil	Ovaal	ZeD	LBr-Gr	ZeHaVa L	HK	Ce	53x47x	

SP	WP	VL	Aard	Vorm	Aflijning	Kleur	Textuur	Bijmenging	Vondsten	Afmetingen	Opmerking
20	3	1	Paalkuil	Cirkel	ZeD	LBr-Gr	ZeHaVa L	HK, VL		42x47x	
21	3	1	Paalkuil	Cirkel	ZeD	LBr-Gr	ZeHaVa L	HK, VL		32x37x	
22	3	1	Silo	Ovaal	ZeD	gevl. LGr-Br m. DBr- Br vl.	ZeHaVa L	HK, VL	Ce	104x132x	
23	3	1	Natuurlijk	Ovaal	ZeD	LBr-Gr m. Br	ZeHaVa L	HK		132x145x	
24	3	1	Paalkuil	Cirkel	Var	LBr-Gr	ZeHaVa L	HK		34x37x	
25	3	1	Paalkuil	Cirkel	Var	LBr-Gr	ZeHaVa L	HK		34x37x	
26	3	1	Paalkuil	Cirkel	Var	LBr-Gr	ZeHaVa L	HK		34x37x	
27	3	1	Paalkuil	Cirkel	Var	LBr-Gr	ZeHaVa L	HK		34x37x	
28	3	1	Paalkuil	Cirkel	Var	LBr-Gr	ZeHaVa L	HK		34x37x	
29	3	1	Paalkuil	Cirkel	Var	LBr-Gr	ZeHaVa L	HK		34x37x	
30	3	1	Paalkuil	Cirkel	Var	LBr-Gr	ZeHaVa L	HK		34x37x	
31	3	1	Paalkuil	Cirkel	Var	LBr-Gr	ZeHaVa L	HK		34x37x	
32	3	1	Paalkuil	Cirkel	Var	LBr-Gr	ZeHaVa L	HK		54x56x	
33	3	1	Paalkuil	Cirkel	Var	LBr-Gr	ZeHaVa L	HK		43x42x	
34	3	1	Paalkuil	Cirkel	Var	LBr-Gr	ZeHaVa L	HK		34x37x	
35	3	1	Paalkuil	Cirkel	Var	LBr-Gr	ZeHaVa L	HK		34x37x	
36	3	1	Natuurlijk	Cirkel	ReD	DGr-Gr m. Br	ZeHaVa L	HK		65x54x	
37	3	1	Kuil	Onregelmatig	Var	gevl. LGr-Gl m. DBr- Gr vl.	ZeHaVa L	HK, VL	Ce	543x376x	
38	3	1	Natuurlijk	Cirkel	Var	LBr-Gr	ZeHaVa L	HK		43x46x	
39	3	1	Natuurlijk	Cirkel	Var	LBr-Gr	ZeHaVa L	HK		43x46x	
40	3	1	Paalkuil	Ovaal	Var	LBr-Gr m. DBr	ZeHaVa L	HK		87x46x	
41	3	1	Paalkuil	Cirkel	Var	LBr-Gr	ZeHaVa L	HK		43x46x	
42	3	1	Paalkuil	Cirkel	Var	LBr-Gr	ZeHaVa L	HK		43x46x	
43	3	1	Paalkuil	Cirkel	Var	LBr-Gr	ZeHaVa L	HK		36x32x	
44	3	1	Natuurlijk	Ovaal	Var	DBr-Gr	ZeHaVa L	HK		36x46x	
45	3	1	Natuurlijk	Ovaal	Var	gevl. DBr-Gr m. LGr- Gl	ZeHaVa L	HK		95x76x	doorsneden door S46
46	3	1	Paalkuil	Cirkel	ReD	LGr-Br	ZeHaVa L	HK		54x58x	
47	3	1	Paalkuil	Ovaal	ReD	LGr-Br	ZeHaVa L	HK	Ce	38x35x	

SP	WP	VL	Aard	Vorm	Aflijning	Kleur	Textuur	Bijmenging	Vondsten	Afmetingen	Opmerking
48	3	1	Paalkuil	Cirkel	ReD	LGr-Br	ZeHaVa L	HK	Ce	38x35x	
49	3	1	Kuil	Cirkel	ReD	DBr-Gr	ZeHaVa L	HK, VL	Ce	115x119x	mogelijk silo
50	3	1	Natuurlijk	Ovaal	ZeD	gevl. LGr-Br m. DGr- Br	ZeHaVa L	HK		54x86x	
51	3	1	Natuurlijk	Ovaal	ReD	DBr-Gr	ZeHaVa L	HK		34x48x	
52	3	1	Natuurlijk	Ovaal	ZeD	LGr-Gr	ZeHaVa L	HK		124x106x	
53	3	1	Paalkuil	Cirkel	Var	LBr-Gr	ZeHaVa L	HK		36x32x	
54	3	1	Natuurlijk	Cirkel	Var	LBr-Gr	ZeHaVa L	HK		36x32x	
55	3	1	Natuurlijk	Ovaal	ReD	LGr	ZeHaVa L	HK		89x76x	
56	3	1	Paalkuil	Cirkel	Var	LBr-Gr	ZeHaVa L	HK		36x32x	
57	3	1	Paalkuil	Cirkel	Var	LBr-Gr	ZeHaVa L	HK		36x32x	
58	3	1	Paalkuil	Cirkel	Var	LBr-Gr	ZeHaVa L	HK		36x32x	
59	3	1	Natuurlijk	Cirkel	Var	LBr-Gr	ZeHaVa L	HK		36x32x	
60	3	1	Paalkuil	Cirkel	Var	LBr-Gr	ZeHaVa L	HK		36x32x	
61	3	1	Paalkuil	Ovaal	Var	LBr-Gr	ZeHaVa L	HK		36x3265x	opgesplitst in S123
62	3	1	Paalkuil	Cirkel	Var	gevl. DGr-Zw m. LBr	ZeHaVa L	HK, HK		36x32x	
63	3	1	Paalkuil	Cirkel	Var	gevl. DGr-Zw m. LBr	ZeHaVa L	HK, HK	Bo	36x32x	
64	3	1	Natuurlijk	Cirkel	Var	LGr-Br	ZeHaVa L	HK		36x32x	
65	3	1	Natuurlijk	Cirkel	Var	LGr-Br	ZeHaVa L	HK		36x32x	
66	3	1	Paalkuil	Cirkel	Var	Gr-Br	ZeHaVa L	HK		28x32x	
67	3	1	Paalkuil	Cirkel	Var	Gr-Br	ZeHaVa L	HK		45x46x	
68	3	1	Paalkuil	Cirkel	Var	LGr-Br	ZeHaVa L	HK		32x27x	
69	3	1	Paalkuil	Cirkel	Var	LGr-Br	ZeHaVa L	HK		32x27x	
70	3	1	Natuurlijk	Cirkel	Var	LGr-Br	ZeHaVa L	HK		32x27x	
71	3	1	Paalkuil	Cirkel	Var	LGr-Br	ZeHaVa L	HK		32x27x	
72	3	1	Paalkuil	Cirkel	Var	LGr-Br	ZeHaVa L	HK		32x27x	
73	3	1	Paalkuil	Cirkel	Var	DGr-Br	ZeHaVa L	HK		32x27x	
74	3	1	Paalkuil	Cirkel	Var	LGr-Br	ZeHaVa L	HK		32x34x	
75	3	1	Paalkuil	Cirkel	Var	LGr-Br	ZeHaVa L	HK		32x34x	
76	3	1	Natuurlijk	Cirkel	Var	gevl. LGr-Br	ZeHaVa L	HK		45x56x	

SP	WP	VL	Aard	Vorm	Aflijning	Kleur	Textuur	Bijmenging	Vondsten	Afmetingen	Opmerking
77	3	1	Natuurlijk	Cirkel	Var	LGr-Br	ZeHaVa L	HK		32x34x	
78	3	1	Paalkuil	Cirkel	Var	LGr-Br	ZeHaVa L	HK		32x34x	
79	3	1	Paalkuil	Cirkel	Var	LGr-Br	ZeHaVa L	HK		32x34x	
80	3	1	Paalkuil	Cirkel	Var	DGr-Br	ZeHaVa L	HK		43x34x	
81	3	1	Natuurlijk	Cirkel	Var	DGr-Br	ZeHaVa L	HK		43x34x	
82	3	1	Paalkuil	Cirkel	Var	DGr-Br	ZeHaVa L	HK		43x34x	
83	3	1	Natuurlijk	Cirkel	Var	DGr-Br	ZeHaVa L	HK		43x34x	
84	3	1	Natuurlijk	Cirkel	Var	DBr-Br	ZeHaVa L	HK		43x45x	
85	3	1	Natuurlijk	Cirkel	ZeD	LGr-Br	ZeHaVa L	HK		35x37x	
86	3	1	Natuurlijk	Cirkel	ZeD	LGr-Br	ZeHaVa L	HK		35x37x	
87	3	1	Natuurlijk	Cirkel	ZeD	LGr-Br	ZeHaVa L	HK		35x37x	
88	3	1	Natuurlijk	Rechthoekig	ReD	gevl. DBr-Br	ZeHaVa L	HK		31x34x	
89	3	1	Paalkuil	Cirkel	ReD	LGr-Br	ZeHaVa L	HK		31x26x	
90	3	1	Natuurlijk	Rechthoekig	ReD	gevl. DBr-Br	ZeHaVa L	HK		31x34x	wel ingetekend en foto
91	3	1	Paalkuil	Cirkel	ReD	LGr-Br	ZeHaVa L	HK	Ce	31x26x	
92	3	1	Natuurlijk	Cirkel	ReD	LGr-Br	ZeHaVa L	HK		31x26x	
93	3	1	Natuurlijk	Cirkel	ReD	LGr-Br	ZeHaVa L	HK		42x35x	
94	3	1	Paalkuil	Rechthoekig	ReD	gevl. DBr-Br m. LGl vl.	ZeHaVa L	HK		42x32x	
95	3	1	Paalkuil	Cirkel	ReD	LGr-Br	ZeHaVa L	HK		32x32x	
96	3	1	Natuurlijk	Ovaal	ZeD	DBr-Br	ZeHaVa L	HK		104x79x	
97	3	1	Natuurlijk	Cirkel	ReD	LBr-Gr	ZeHaVa L	HK		32x35x	
98	3	1	Natuurlijk	Cirkel	ReD	LBr-Gr	ZeHaVa L	HK		32x35x	
99	3	1	Natuurlijk	Cirkel	ReD	LBr-Gr	ZeHaVa L	HK		32x35x	
100	3	1	Natuurlijk	Cirkel	ReD	LBr-Gr	ZeHaVa L	HK		32x35x	
101	3	1	Natuurlijk	Cirkel	ReD	LBr-Gr	ZeHaVa L	HK		32x35x	
102	3	1	Natuurlijk	Ovaal	Var	gevl. DBr-Gr	ZeHaVa L	HK		32x39x	
103	3	1	Natuurlijk	Cirkel	ReD	LBr-Gr	ZeHaVa L	HK		21x26x	
104	3	1	Natuurlijk	Ovaal	ZeD	gevl. DBr-Gr m. LBr vl.	ZeHaVa L	HK		47x68x	
105	3	1	Natuurlijk	Cirkel	ZeD	LGr-Br	ZeHaVa L	HK		35x37x	

SP	WP	VL	Aard	Vorm	Aflijning	Kleur	Textuur	Bijmenging	Vondsten	Afmetingen	Opmerking
106	3	1	Natuurlijk	Cirkel	ZeD	LGr-Br	ZeHaVa L	HK		35x37x	
107	3	1	Natuurlijk	Cirkel	ZeD	LGr-Br	ZeHaVa L	HK		35x37x	
108	3	1	Natuurlijk	Rechthoekig	ReD	gevl. DBr-Br	ZeHaVa L	HK		31x34x	
109	3	1	Paalkuil	Ovaal	ReD	gevl. DBr-Gr m. LGI vl.	ZeHaVa L	HK		32x41x	
109L1	3	1	Vulling		ReD	DGr-Gr	ZeHaVa L	HK			
109L2	3	1	Vulling		ReD	LBr-Gr	ZeHaVa L	HK			
110	3	1	Paalkuil	Ovaal	ReD	gevl. DBr-Gr m. LGI vl.	ZeHaVa L	HK	Ce	35x54x	
111	3	1	Boomval	Ovaal	ReD	gevl. DGr-Br m. LGI vl.	ZeHaVa L	HK		113x121x	
112	3	1	Natuurlijk	Cirkel	ZeD	LGr-Br	ZeHaVa L	HK		21x27x	
113	3	1	Paalkuil	Ovaal	ZeD	DGr-Zw m. Br vl.	ZeHaVa L	HK		43x35x	
113L1	3	1	Vulling		ZeD	DGr-Zw m. Br vl.	ZeHaVa L	HK	St	43x35x	paalkern
113L2	3	1	Vulling		ZeD	LGr-Br	ZeHaVa L	HK			paalkuil
114	3	1	Paalkuil	Cirkel	ZeD	LGr-Br	ZeHaVa L	HK		32x27x	
114L1	3	1	Vulling		Var	DGr-Gr m. LBr- GI vl.	ZeHaVa L	HK			paalkern
114L2	3	1	Vulling		Natl	Br	ZeHaVa L				insteek?
115	3	1	Kuil	Onregelmatig	Var	LGI	ZeHaVa L			132x127x	
116	3	1	Natuurlijk	Onregelmatig	ReD	gevl. LGr-Wt m. Gr en GI vl.	ZeHaVa L	HK		123x95x	
117	3	1	Paalkuil	Ovaal	ZeD	gevl. DBr-Br	ZeHaVa L	HK		43x36x	Niet op plan
117L1	3	1	Vulling		ReD	Gr-Br	ZeHaVa L	HK			paalkern
117L2	3	1	Vulling		ZeD	Br	ZeHaVa L				paalkuil
118	3	1	Natuurlijk	Ovaal	ZeD	gevl. DBr-Br	ZeHaVa L	HK		37x32x	
119	3	1	Paalkuil	Ovaal	ReD	gevl. DBr-Gr m. LGI vl.	ZeHaVa L	HK	Ce	32x36x	
119L1	3	1	Vulling		ZeD	gevl. DBr-Gr	ZeHaVa L	HK	Ce		paalkern
119L2	3	1	Vulling		ZeD	LBr-Gr	ZeHaVa L	HK			paalkuil
120	3	1	Paalkuil	Cirkel	ReD	gevl. DBr-Br	ZeHaVa L	HK		45x43x	

SP	WP	VL	Aard	Vorm	Aflijning	Kleur	Textuur	Bijmenging	Vondsten	Afmetingen	Opmerking
120L1	3	1	Vulling		Var	gevl. DBr-Gr	ZeHaVa L	HK			paalkern
120L2	3	1	Vulling		ZeD	DBr-Br	ZeHaVa L	HK			paalkuil
121	3	1	Natuurlijk	Cirkel	ZeD	LGr-Br	ZeHaVa L	HK		32x36x	
122	3	1	Paalkuil	Cirkel	ZeD	LGr-Br	ZeHaVa L	HK		32x36x	
123	3	1	Paalkuil	Cirkel	ZeD	LGr-Br	ZeHaVa L	HK		32x34x	opgesplitst uit S61
124	3	2	Kuil	Ovaal	ReS	gevl. LGr m. Gr-Br vl.	ZeHaVa L	HK	Ce	121x132x	onderS37
125	3	2	Kuil	Ovaal	ReS	gevl. LGr m. Gr-Br vl.	ZeHaVa L	HK	Ce	121x132x	onder S37
126	3	2	Kuil	Ovaal	ReS	gevl. LGr m. Gr-Br vl.	ZeHaVa L	HK	Ce	121x132x	onder S37 doorsnijdt S128
127	3	2	Paalkuil	Cirkel	ReS	LGr-Br m. Gr	ZeHaVa L	HK		43x37x	
128	3	2	Kuil	Cirkel	Var	gevl. LGr-Br	ZeHaVa L	HK	Ce	104x?x	
129	3	2	Kuil	Cirkel	Var	gevl. LGr-Br	ZeHaVa L	HK	Ce	104x?x	
130	1	1	Natuurlijk	Cirkel	ReD	LGr-Gr	ZeHaVa L	HK		42x46x	
131	1	1	wegtrace	Langwerpig	Var	gevl. LGr-Gl m. DBr vl.	ZeHaVa L	HK, BC	Ce, Me, Bo	400x?x	
132	1	1	Greppel	Langwerpig	ReD	LGI	ZeHaVa L	HK		x74x	
133	3	2	Kuil	Ovaal	ReS	gevl. LGr m. Gr-Br vl.	ZeHaVa L	HK	Ce	121x132x	onder S37 doorsnijdt S125
134	3	2	Kuil	Ovaal	ReS	gevl. LGr m. Gr-Br vl.	ZeHaVa L	HK	Ce	121x132x	onder S37
135	3	2	Kuil	Ovaal	ReS	gevl. LGr m. Gr-Br vl.	ZeHaVa L	HK	Ce	121x132x	onder S37
136	3	2	Kuil	Ovaal	ReS	gevl. LGr m. Gr-Br vl.	ZeHaVa L	HK	Ce	121x132x	onder S37
137	3	2	Kuil	Niet zichtbaar	ReS	gevl. LGr-Gr m. LGI-Br vl.	ZeHaVa L	HK		68x59x	mogelijk laag van S129
138	3	1	Paalkuil	Cirkel	ZeD	LGr-Br	ZeHaVa L	HK		32x34x	
139	3	1	Natuurlijk	Ovaal	ZeD	LGr-Br	ZeHaVa L	HK, VL		32x26x	
140	3	1	Natuurlijk	Cirkel	ZeD	DBr-Gr	ZeHaVa L	HK		32x31x	
141	2	1	Kuil	Trapezium	ZeS	gevl. Gr-Br	ZeHaVa L	HK, Sintels		67x83x	
142	2	1	Natuurlijk	Cirkel	Var	gevl. DGr-Br	ZeHaVa L	HK		41x43x	
143	2	1	Paalkuil	Cirkel	ReD	LBr-Gr	ZeHaVa L	HK		43x46x	
144	2	1	Paalkuil	Cirkel	ReD	LBr-Gr	ZeHaVa	HK		43x46x	

De archeologische begeleiding aan de Assesteenweg en Terheidenboslaan te Asse

SP	WP	VL	Aard	Vorm	Aflijning	Kleur	Textuur	Bijmenging	Vondsten	Afmetingen	Opmerking
							L				
145	2	1	Paalkuil	Ovaal	Var	LGr-Wt m. Br-Gr	ZeHaVa L	HK	Ce	54x46x	
146	2	1	Natuurlijk	Cirkel	ZeD	DGr-Gr	ZeHaVa L	HK		34x36x	
147	2	1	Paalkuil	Onregelmatig	ReD	DGr-Gr	ZeHaVa L	HK		67x54x	
148	2	1	Paalkuil	Cirkel	ZeD	LGr-Gr	ZeHaVa L	HK		32x32x	
149	2	1	Paalkuil	Cirkel	ZeD	LGr-Br	ZeHaVa L	HK		32x34x	

Bijlage 2 Vondstenlijst

Bijlage 2 Vondstenlijst

791 21867

Spoorinformatie	Spoornummer	Spoortype	Depositietype	Datering Vulling					N	M (gr)	
LV1									1	11	
Ceramiek	Grondstof code	Vorm	Datering	Opmerkingen	Rand	Wand	Bodem	Oor	Arch. voll.	1	11
2013-438-LV1-Ce-1	HG-PG-BS		Vroege IJzertijd - Vroeg Romeins	secundair verbrand	1					1	11
Spoorinformatie	Spoornummer	Spoortype	Depositietype	Datering Vulling					N	M (gr)	
LV2									1	10	
Ceramiek	Grondstof code	Vorm	Datering	Opmerkingen	Rand	Wand	Bodem	Oor	Arch. voll.	1	10
2013-438-LV2-Ce-1	HG-PG-BS		Vroege IJzertijd - Vroeg Romeins	secundair verbrand	1					1	10
Spoorinformatie	Spoornummer	Spoortype	Depositietype	Datering Vulling					N	M (gr)	
LV3									1	10	
Ceramiek	Grondstof code	Vorm	Datering	Opmerkingen	Rand	Wand	Bodem	Oor	Arch. voll.	1	10
2013-438-LV3-Ce-1	HG-PG-BS		Vroege IJzertijd - Vroeg Romeins		1					1	10
Spoorinformatie	Spoornummer	Spoortype	Depositietype	Datering Vulling					N	M (gr)	
LV4									2	7	
Ceramiek	Grondstof code	Vorm	Datering	Opmerkingen	Rand	Wand	Bodem	Oor	Arch. voll.	2	7
2013-438-LV4-Ce-1	HG-PG-BS		Vroege IJzertijd - Vroeg Romeins	secundair verbrand	2					2	7
Spoorinformatie	Spoornummer	Spoortype	Depositietype	Datering Vulling					N	M (gr)	
LV5									4	42	
Ceramiek	Grondstof code	Vorm	Datering	Opmerkingen	Rand	Wand	Bodem	Oor	Arch. voll.	4	42
2013-438-LV5-Ce-1	HG-PG-NB		Late Bronstijd - Vroeg Romeins		1					1	8
2013-438-LV5-Ce-2	HG-PG-BS		Vroege IJzertijd - Vroeg Romeins		2	1				3	34
Spoorinformatie	Spoornummer	Spoortype	Depositietype	Datering Vulling					N	M (gr)	
LV6									1	9	
Silex	Grondstof code	Vorm	Datering	Opmerkingen	Distaal	Mediaal	Proximaal		Arch. voll.	1	9
2013-438-LV6-Si-1								1	1	9	
Spoorinformatie	Spoornummer	Spoortype	Depositietype	Datering Vulling					N	M (gr)	
LV7									2	10	

Ceramiek	Grondstof code	Vorm	Datering	Opmerkingen	Rand	Wand	Bodem	Oor	Arch. voll.	1	7
2013-438-LV7-Ce-1	HG-PG-BS		Vroege IJzertijd - Vroeg Romeins			1				1	7
Silex	Grondstof code	Vorm	Datering	Opmerkingen	Distaal	Mediaal	Proximaal		Arch. voll.	1	3
2013-438-LV7-Si-1								1		1	3
Spoorinformatie	Spoornummer	Spoortype	Depositietype	Datering Vulling	N		M (gr)				
	LV8				1		9				
Ceramiek	Grondstof code	Vorm	Datering	Opmerkingen	Rand	Wand	Bodem	Oor	Arch. voll.	1	9
2013-438-LV8-Ce-1	HG-PG-BS		Vroege IJzertijd - Vroeg Romeins			1				1	9
Spoorinformatie	Spoornummer	Spoortype	Depositietype	Datering Vulling	N		M (gr)				
	LV9				1		11				
Ceramiek	Grondstof code	Vorm	Datering	Opmerkingen	Rand	Wand	Bodem	Oor	Arch. voll.	1	11
2013-438-LV9-Ce-1	HG-PG-BS		Vroege IJzertijd - Vroeg Romeins	secundair verbrand	1					1	11
Spoorinformatie	Spoornummer	Spoortype	Depositietype	Datering Vulling	N		M (gr)				
	LV10				1		13				
Ceramiek	Grondstof code	Vorm	Datering	Opmerkingen	Rand	Wand	Bodem	Oor	Arch. voll.	1	13
2013-438-LV10-Ce-1	HG-PG-NB		Late Bronstijd - Vroeg Romeins	secundair verbrand		1				1	13
Spoorinformatie	Spoornummer	Spoortype	Depositietype	Datering Vulling	N		M (gr)				
	LV11				3		10				
Ceramiek	Grondstof code	Vorm	Datering	Opmerkingen	Rand	Wand	Bodem	Oor	Arch. voll.	3	10
2013-438-LV11-Ce-1	HG							3		3	10
Spoorinformatie	Spoornummer	Spoortype	Depositietype	Datering Vulling	N		M (gr)				
	LV12				1		5				
Ceramiek	Grondstof code	Vorm	Datering	Opmerkingen	Rand	Wand	Bodem	Oor	Arch. voll.	1	5
2013-438-LV12-Ce-1	HG-PG-NB		Late Bronstijd - Vroeg Romeins	secundair verbrand		1				1	5
Spoorinformatie	Spoornummer	Spoortype	Depositietype	Datering Vulling	N		M (gr)				
	LV13				1		11				
Ceramiek	Grondstof code	Vorm	Datering	Opmerkingen	Rand	Wand	Bodem	Oor	Arch. voll.	1	11
2013-438-LV13-Ce-1	HG-PG-BS		Vroege IJzertijd - Vroeg Romeins	secundair verbrand		1				1	11

Spoorinformatie	Spoornummer	Spoortype	Depositietype	Datering Vulling					N	M (gr)	
	LV14								1	6	
Ceramiek	Grondstof code	Vorm	Datering	Opmerkingen	Rand	Wand	Bodem	Oor	Arch. voll.	1	6
2013-438-LV14-Ce-1	HG							1		1	6
Spoorinformatie	Spoornummer	Spoortype	Depositietype	Datering Vulling					N	M (gr)	
	LV15								1	24	
Ceramiek	Grondstof code	Vorm	Datering	Opmerkingen	Rand	Wand	Bodem	Oor	Arch. voll.	1	24
2013-438-LV15-Ce-1	HG-PG-BS		Vroege IJzertijd - Vroeg Romeins	secundair verbrand		1				1	24
Spoorinformatie	Spoornummer	Spoortype	Depositietype	Datering Vulling					N	M (gr)	
	LV16								1	5	
Ceramiek	Grondstof code	Vorm	Datering	Opmerkingen	Rand	Wand	Bodem	Oor	Arch. voll.	1	5
2013-438-LV16-Ce-1	HG							1		1	5
Spoorinformatie	Spoornummer	Spoortype	Depositietype	Datering Vulling					N	M (gr)	
	LV17								1	5	
Ceramiek	Grondstof code	Vorm	Datering	Opmerkingen	Rand	Wand	Bodem	Oor	Arch. voll.	1	5
2013-438-LV17-Ce-1	HG			Secundair verbrand				1		1	5
Spoorinformatie	Spoornummer	Spoortype	Depositietype	Datering Vulling					N	M (gr)	
	LV18								1	5	
Ceramiek	Grondstof code	Vorm	Datering	Opmerkingen	Rand	Wand	Bodem	Oor	Arch. voll.	1	5
2013-438-LV18-Ce-1	HG-PG-NB		Late Bronstijd - Vroeg Romeins	secundair verbrand		1				1	5
Spoorinformatie	Spoornummer	Spoortype	Depositietype	Datering Vulling					N	M (gr)	
	LV19								2	9	
Ceramiek	Grondstof code	Vorm	Datering	Opmerkingen	Rand	Wand	Bodem	Oor	Arch. voll.	2	9
2013-438-LV19-Ce-1	HG-PG-NB		Late Bronstijd - Vroeg Romeins			2				2	9
Spoorinformatie	Spoornummer	Spoortype	Depositietype	Datering Vulling					N	M (gr)	
	LV20								1	18	
Ceramiek	Grondstof code	Vorm	Datering	Opmerkingen	Rand	Wand	Bodem	Oor	Arch. voll.	1	18
2013-438-LV20-Ce-1	HG-PG-NB		Late Bronstijd - Vroeg Romeins			1				1	18
Spoorinformatie	Spoornummer	Spoortype	Depositietype	Datering Vulling					N	M (gr)	
	LV21								1	7	

Ceramiek	Grondstof code	Vorm	Datering	Opmerkingen	Rand	Wand	Bodem	Oor	Arch. voll.	1	7
2013-438-LV21-Ce-1	HG							1		1	7
Spoorinformatie	Spoornummer	Spoortype	Depositietype	Datering Vulling	N	M (gr)					
	LV22				1	5					
Ceramiek	Grondstof code	Vorm	Datering	Opmerkingen	Rand	Wand	Bodem	Oor	Arch. voll.	1	5
2013-438-LV22-Ce-1	HG-PG-NB		Late Bronstijd - Vroeg Romeins	secundair verbrand		1				1	5
Spoorinformatie	Spoornummer	Spoortype	Depositietype	Datering Vulling	N	M (gr)					
	LV23				1	10					
Ceramiek	Grondstof code	Vorm	Datering	Opmerkingen	Rand	Wand	Bodem	Oor	Arch. voll.	1	10
2013-438-LV23-Ce-1	HG-PG					1				1	10
Spoorinformatie	Spoornummer	Spoortype	Depositietype	Datering Vulling	N	M (gr)					
	LV24				1	536					
Bouwceraamiek	Grondstof code	Vorm	Datering	Opmerkingen	Rand	Midden	Hoek		Arch. voll.	1	536
2013-438-LV24-Bo-1		Tegula	Romeins		1					1	536
Spoorinformatie	Spoornummer	Spoortype	Depositietype	Datering Vulling	N	M (gr)					
	LV25				1	412					
Bouwceraamiek	Grondstof code	Vorm	Datering	Opmerkingen	Rand	Midden	Hoek		Arch. voll.	1	412
2013-438-LV25-Bo-1		Tegula	Romeins		1					1	412
Spoorinformatie	Spoornummer	Spoortype	Depositietype	Datering Vulling	N	M (gr)					
	LV26				1	4					
Silex	Grondstof code	Vorm	Datering	Opmerkingen	Distaal	Mediaal	Proximaal		Arch. voll.	1	4
2013-438-LV26-Si-1								1		1	4
Spoorinformatie	Spoornummer	Spoortype	Depositietype	Datering Vulling	N	M (gr)					
	LV27				1	3					
Silex	Grondstof code	Vorm	Datering	Opmerkingen	Distaal	Mediaal	Proximaal		Arch. voll.	1	3
2013-438-LV27-Si-1								1		1	3
Spoorinformatie	Spoornummer	Spoortype	Depositietype	Datering Vulling	N	M (gr)					
	LV28				1	7					

Silex	Grondstof code	Vorm	Datering	Opmerkingen	Distaal	Mediaal	Proximaal	Arch. voll.	1	7
2013-438-LV28-Si-1								1	1	7
Spoorinformatie	Spoornummer	Spoortype	Depositietype	Datering	Vulling	N	M (gr)			
	1	Greppel				3	11			
Ceramiek	Grondstof code	Vorm	Datering	Opmerkingen	Rand	Wand	Bodem	Oor	Arch. voll.	
2013-438-S1-Ce-1	HG-PG-BS		Vroege IJzertijd - Vroeg Romeins	secundair verbrand		3			3	11
Spoorinformatie	Spoornummer	Spoortype	Depositietype	Datering	Vulling	N	M (gr)			
	6L1	Vulling				23	331			
Metaal	Grondstof code	Vorm	Datering	Opmerkingen	Boven	Midden	Onder	Additieven	Arch. voll.	
2013-438-S6L1-Me-1				overgang				23	23	331
Spoorinformatie	Spoornummer	Spoortype	Depositietype	Datering	Vulling	N	M (gr)			
	18	Paalkuil				3	12			
Ceramiek	Grondstof code	Vorm	Datering	Opmerkingen	Rand	Wand	Bodem	Oor	Arch. voll.	
2013-438-S18-Ce-1	HG-PG-BS		Vroege IJzertijd - Vroeg Romeins	secundair verbrand		3			3	12
Spoorinformatie	Spoornummer	Spoortype	Depositietype	Datering	Vulling	N	M (gr)			
	19	Kuil				21	171			
Ceramiek	Grondstof code	Vorm	Datering	Opmerkingen	Rand	Wand	Bodem	Oor	Arch. voll.	
2013-438-S19-Ce-1	HG-PG-BS		Vroege IJzertijd - Vroeg Romeins	secundair verbrand	3	16			19	159
Natuursteen	Grondstof code	Vorm	Datering	Opmerkingen	Boven	Midden	Onder	Additieven	Arch. voll.	
2013-438-S19-Na-1								2	2	12
Spoorinformatie	Spoornummer	Spoortype	Depositietype	Datering	Vulling	N	M (gr)			
	22	Silo				66	1016			
Ceramiek	Grondstof code	Vorm	Datering	Opmerkingen	Rand	Wand	Bodem	Oor	Arch. voll.	
2013-438-S22-Ce-1	HG-PG-NB		Late Bronstijd - Vroeg Romeins	passende stukken van een wand met buik- en schouderknik		1			1	79
2013-438-S22-Ce-2	HG-OR		Late Bronstijd - Vroeg Romeins	mogelijk deel van een weefgewicht				7	7	30
2013-438-S22-Ce-3	HG		Late Bronstijd - Vroeg Romeins	Secundair verbrand				17	17	45
2013-438-S22-Ce-4	HG-PG-BS		Vroege IJzertijd - Vroeg Romeins	Secundair verbrand		18	2		20	522
2013-438-S22-Ce-5	HG-PG-NB		Late Bronstijd - Vroeg Romeins			3			3	30
2013-438-S22-Ce-6	HG-PG-NB		Late Bronstijd - Vroeg Romeins	secundair verbrand	2	13	1		16	154

2013-438-S22-Ce-7	HG-PG-BS	Vroege IJzertijd - Vroeg Romeins		Secundair verbrand, ev. omphalos, type 31 VDB		1	1	142								
Natuursteen	Grondstof code	Vorm	Datering	Opmerkingen	Boven	Midden	Onder	Additieven	Arch. voll.	1	14					
2013-438-S22-Na-1									1	1	14					
Spoorinformatie	Spoornummer	Spoortype	Depositietype	Datering Vulling				N	M (gr)							
23									Natuurlijk	1	7					
Ceramiek	Grondstof code	Vorm	Datering	Opmerkingen	Rand	Wand	Bodem	Oor	Arch. voll.	1	7					
2013-438-S23-Ce-1									HG-PG	secundair verbrand	1	1	7			
Spoorinformatie	Spoornummer	Spoortype	Depositietype	Datering Vulling				N	M (gr)							
24									Paalkuil	1	16					
Bouwceramiek	Grondstof code	Vorm	Datering	Opmerkingen	Rand	Midden	Hoek		Arch. voll.	1	16					
2013-438-S24-Bo-1										1	16					
Spoorinformatie	Spoornummer	Spoortype	Depositietype	Datering Vulling				N	M (gr)							
27									Paalkuil	1	9					
Ceramiek	Grondstof code	Vorm	Datering	Opmerkingen	Rand	Wand	Bodem	Oor	Arch. voll.	1	9					
2013-438-S27-Ce-1									HG-PG-BS	Vroege IJzertijd - Vroeg Romeins	1	1	9			
Spoorinformatie	Spoornummer	Spoortype	Depositietype	Datering Vulling				N	M (gr)							
35									Paalkuil	6	25					
Ceramiek	Grondstof code	Vorm	Datering	Opmerkingen	Rand	Wand	Bodem	Oor	Arch. voll.	6	25					
2013-438-S35-Ce-1									HG-PG-BS	Vroege IJzertijd - Vroeg Romeins	secundair verbrand	6	25			
Spoorinformatie	Spoornummer	Spoortype	Depositietype	Datering Vulling				N	M (gr)							
37									Kuil	212	3875					
Ceramiek	Grondstof code	Vorm	Datering	Opmerkingen	Rand	Wand	Bodem	Oor	Arch. voll.	210	3851					
2013-438-S37-Ce-2									HG-PG-NB	Late Bronstijd - Vroeg Romeins	S-vormig profiel	1	1	9		
2013-438-S37-Ce-1									HG-PG-BS	Vroege IJzertijd - Vroeg Romeins		7	7	105		
2013-438-S37-Ce-3									HG-PG-NB	Late Bronstijd - Vroeg Romeins		2	2	25		
2013-438-S37-Ce-4									HG-PG-BS	Vroege IJzertijd - Vroeg Romeins	secundair verbrand	1	103	7	111	2467
2013-438-S37-Ce-5									HG-PG-NB	Late Bronstijd - Vroeg Romeins	secundair verbrand	4	20		24	332
2013-438-S37-Ce-6									HG	Late Bronstijd - Vroeg Romeins				32	32	78
2013-438-S37-Ce-7									HG-OR	Late Bronstijd - Vroeg Romeins	mogelijk deel van een weefgewicht			31	31	695

De archeologische begeleiding aan de Assesteenweg en Terheidenboslaan te Asse

2013-438-S37-Ce-8	HG-PG-BS		Vroege IJzertijd - Vroeg Romeins	secundair verbrand	1					1	92
2013-438-S37-Ce-9	HG-PG-NB		Late Bronstijd - Vroeg Romeins	secundair verbrand	1					1	48
Natuursteen	Grondstof code	Vorm	Datering	Opmerkingen	Boven	Midden	Onder	Additieven	Arch. voll.	2	24
2013-438-S37-Na-1								2		2	24
Spoorinformatie	Spoornummer	Spoortype	Depositietype	Datering	Vulling	N	M (gr)				
	37L0	Kuil				37	762				
Ceramiek	Grondstof code	Vorm	Datering	Opmerkingen	Rand	Wand	Bodem	Oor	Arch. voll.	37	762
2013-438-S37L0-Ce-1	HG-OR		Late Bronstijd - Vroeg Romeins	vlak 3, boven spoor 135-136, mogelijk deel van een weefgewicht				2		2	27
2013-438-S37L0-Ce-2	HG-PG-BS		Vroege IJzertijd - Vroeg Romeins	vlak 3, boven spoor 135-136		2				2	19
2013-438-S37L0-Ce-3	HG-PG-BS		Vroege IJzertijd - Vroeg Romeins	vlak 3, boven spoor 135-136, secundair verbrand		14	1			15	449
2013-438-S37L0-Ce-4	HG-PG-NB		Late Bronstijd - Vroeg Romeins	vlak 3, boven spoor 135-136		1				1	7
2013-438-S37L0-Ce-5	HG-PG-NB		Late Bronstijd - Vroeg Romeins	vlak 3, boven spoor 135-136, secundair verbrand	1	15	1			17	260
Spoorinformatie	Spoornummer	Spoortype	Depositietype	Datering	Vulling	N	M (gr)				
	37L1	Kuil				77	2673				
Ceramiek	Grondstof code	Vorm	Datering	Opmerkingen	Rand	Wand	Bodem	Oor	Arch. voll.	76	2519
2013-438-S37L1-Ce-1	HG-OR		Late Bronstijd - Vroeg Romeins	boven S124 en S125, mogelijk deel van een weefgewicht				7		7	145
2013-438-S37L1-Ce-2	HG-PG-BS		Vroege IJzertijd - Vroeg Romeins	boven S124 en S125, secundair verbrand, 1 samengesteld	3	39				42	1806
2013-438-S37L1-Ce-3	HG-PG-NB		Late Bronstijd - Vroeg Romeins	boven S124 en S125, secundair verbrand	2	23	1			26	465
2013-438-S37L1-Ce-4	HG-PG-NB		Late Bronstijd - Vroege IJzertijd	boven S124 en S125, secundair verbrand, één bodemfragment met			1			1	103
Natuursteen	Grondstof code	Vorm	Datering	Opmerkingen	Boven	Midden	Onder	Additieven	Arch. voll.	1	154
2013-438-S37L1-Na-1				boven S124 en S125				1		1	154
Spoorinformatie	Spoornummer	Spoortype	Depositietype	Datering	Vulling	N	M (gr)				
	40	Paalkuil				1	4				
Ceramiek	Grondstof code	Vorm	Datering	Opmerkingen	Rand	Wand	Bodem	Oor	Arch. voll.	1	4
2013-438-S40-Ce-1	HG-OR					1				1	4
Spoorinformatie	Spoornummer	Spoortype	Depositietype	Datering	Vulling	N	M (gr)				
	42	Paalkuil				2	27				
Ceramiek	Grondstof code	Vorm	Datering	Opmerkingen	Rand	Wand	Bodem	Oor	Arch. voll.	2	27
2013-438-S42-Ce-1	HG-PG-NB		Late Bronstijd - Vroeg Romeins	secundair verbrand		2				2	27

Spoorinformatie	Spoornummer	Spoortype	Depositietype	Datering Vulling					N	M (gr)	
	46	Paalkuil							1	6	
Ceramiek	Grondstof code	Vorm	Datering	Opmerkingen	Rand	Wand	Bodem	Oor	Arch. voll.	1	6
2013-438-S46-Ce-1	HG-PG-BS		Vroege IJzertijd - Vroeg Romeins	secundair verbrand		1				1	6
Spoorinformatie	Spoornummer	Spoortype	Depositietype	Datering Vulling					N	M (gr)	
	47	Paalkuil								1	6
Ceramiek	Grondstof code	Vorm	Datering	Opmerkingen	Rand	Wand	Bodem	Oor	Arch. voll.	1	6
2013-438-S47-Ce-1	HG-PG-NB		Late Bronstijd - Vroeg Romeins			1				1	6
Spoorinformatie	Spoornummer	Spoortype	Depositietype	Datering Vulling					N	M (gr)	
	49	Kuil								88	5536
Ceramiek	Grondstof code	Vorm	Datering	Opmerkingen	Rand	Wand	Bodem	Oor	Arch. voll.	84	3086
2013-438-S49-Ce-1	HG-OR		Late Bronstijd - Vroeg Romeins	mogelijk deel van een weefgewicht				66		66	2630
2013-438-S49-Ce-2	HG-PG-NB		Late Bronstijd - Vroeg Romeins			1	2			3	117
2013-438-S49-Ce-3	HG-PG-NB		Late Bronstijd - Vroeg Romeins	secundair verbrand		4	1			5	122
2013-438-S49-Ce-4	HG-PG-BS		Vroege IJzertijd - Vroeg Romeins	secundair verbrand	3	7				10	217
Natuursteen	Grondstof code	Vorm	Datering	Opmerkingen	Boven	Midden	Onder	Additieven	Arch. voll.	4	2450
2013-438-S49-Na-1								4		4	2450
Spoorinformatie	Spoornummer	Spoortype	Depositietype	Datering Vulling					N	M (gr)	
	49L1	Kuil								2	16
Ceramiek	Grondstof code	Vorm	Datering	Opmerkingen	Rand	Wand	Bodem	Oor	Arch. voll.	2	16
2013-438-S49L1-Ce-1	HG-OR		Late Bronstijd - Vroeg Romeins			1				1	11
2013-438-S49L1-Ce-2	HG-PG-BS		Vroege IJzertijd - Vroeg Romeins			1				1	5
Spoorinformatie	Spoornummer	Spoortype	Depositietype	Datering Vulling					N	M (gr)	
	49L2	Kuil								2	450
Ceramiek	Grondstof code	Vorm	Datering	Opmerkingen	Rand	Wand	Bodem	Oor	Arch. voll.	2	450
2013-438-S49L2-Ce-1	HG-PG-NB		Late Bronstijd - Vroeg Romeins	scherfje apart maakt waarschijnlijk deel uit van de pot,		1			1	2	450
Spoorinformatie	Spoornummer	Spoortype	Depositietype	Datering Vulling					N	M (gr)	
	58	Paalkuil								1	10

Ceramiek	Grondstof code	Vorm	Datering	Opmerkingen	Rand	Wand	Bodem	Oor	Arch. voll.	1	10
2013-438-S58-Ce-1	HG-PG-BS		Vroege IJzertijd - Vroeg Romeins	secundair verbrand		1				1	10
Spoorinformatie	Spoornummer	Spoortype	Depositietype	Datering Vulling	N	M (gr)					
	63	Paalkuil			2	13					
Ceramiek	Grondstof code	Vorm	Datering	Opmerkingen	Rand	Wand	Bodem	Oor	Arch. voll.	2	13
2013-438-S63-Ce-1	HG-PG-BS		Vroege IJzertijd - Vroeg Romeins			2				2	13
Spoorinformatie	Spoornummer	Spoortype	Depositietype	Datering Vulling	N	M (gr)					
	66	Paalkuil			1	5					
Ceramiek	Grondstof code	Vorm	Datering	Opmerkingen	Rand	Wand	Bodem	Oor	Arch. voll.	1	5
2013-438-S66-Ce-1	HG-PG-NB		Late Bronstijd - Vroeg Romeins	secundair verbrand		1				1	5
Spoorinformatie	Spoornummer	Spoortype	Depositietype	Datering Vulling	N	M (gr)					
	67	Paalkuil			1	2					
Ceramiek	Grondstof code	Vorm	Datering	Opmerkingen	Rand	Wand	Bodem	Oor	Arch. voll.	1	2
2013-438-S67-Ce-1	ND							1		1	2
Spoorinformatie	Spoornummer	Spoortype	Depositietype	Datering Vulling	N	M (gr)					
	69L1	Paalkuil			1	5					
Ceramiek	Grondstof code	Vorm	Datering	Opmerkingen	Rand	Wand	Bodem	Oor	Arch. voll.	1	5
2013-438-S69L1-Ce-1	HG-PG-BS		Vroege IJzertijd - Vroeg Romeins	secundair verbrand		1				1	5
Spoorinformatie	Spoornummer	Spoortype	Depositietype	Datering Vulling	N	M (gr)					
	72	Paalkuil			1	3					
Ceramiek	Grondstof code	Vorm	Datering	Opmerkingen	Rand	Wand	Bodem	Oor	Arch. voll.	1	3
2013-438-S72-Ce-1	HG-PG			secundair verbrand				1		1	3
Spoorinformatie	Spoornummer	Spoortype	Depositietype	Datering Vulling	N	M (gr)					
	73	Paalkuil			1	11					
Ceramiek	Grondstof code	Vorm	Datering	Opmerkingen	Rand	Wand	Bodem	Oor	Arch. voll.	1	11
2013-438-S73-Ce-1	HG-PG-BS		Vroege IJzertijd - Vroeg Romeins			1				1	11
Spoorinformatie	Spoornummer	Spoortype	Depositietype	Datering Vulling	N	M (gr)					
	79L1	Paalkuil			2	132					

Ceramiek	Grondstof code	Vorm	Datering	Opmerkingen	Rand	Wand	Bodem	Oor	Arch. voll.	2	132
2013-438-S79L1-Ce-1	HG-OR		Late Bronstijd - Vroeg Romeins	mogelijk deel van een weefgewicht				2		2	132
Spoorinformatie	Spoornummer	Spoortype	Depositietype	Datering	Vulling	N	M (gr)				
	80	Paalkuil				3	124				
Ceramiek	Grondstof code	Vorm	Datering	Opmerkingen	Rand	Wand	Bodem	Oor	Arch. voll.	3	124
2013-438-S80-Ce-1	HG-PG-BS		Vroege IJzertijd - Vroeg Romeins	secundair verbrand	1	2				3	124
Spoorinformatie	Spoornummer	Spoortype	Depositietype	Datering	Vulling	N	M (gr)				
	91	Paalkuil				6	58				
Ceramiek	Grondstof code	Vorm	Datering	Opmerkingen	Rand	Wand	Bodem	Oor	Arch. voll.	6	58
2013-438-S91-Ce-1	HG-PG-NB		Late Bronstijd - Vroeg Romeins	secundair verbrand	2	4				6	58
Spoorinformatie	Spoornummer	Spoortype	Depositietype	Datering	Vulling	N	M (gr)				
	110	Paalkuil				7	56				
Ceramiek	Grondstof code	Vorm	Datering	Opmerkingen	Rand	Wand	Bodem	Oor	Arch. voll.	6	49
2013-438-S110-Ce-1	HG-PG-BS		Vroege IJzertijd - Vroeg Romeins	secundair verbrand		2				2	39
2013-438-S110-Ce-2	HG-PG									4	10
Natuursteen	Grondstof code	Vorm	Datering	Opmerkingen	Boven	Midden	Onder	Additieven	Arch. voll.	1	7
2013-438-S110-Na-1								1		1	7
Spoorinformatie	Spoornummer	Spoortype	Depositietype	Datering	Vulling	N	M (gr)				
	114L2	Vulling				1	8				
Ceramiek	Grondstof code	Vorm	Datering	Opmerkingen	Rand	Wand	Bodem	Oor	Arch. voll.	1	8
2013-438-S114L2-Ce-1	HG-PG-BS		Vroege IJzertijd - Vroeg Romeins	secundair verbrand		1				1	8
Spoorinformatie	Spoornummer	Spoortype	Depositietype	Datering	Vulling	N	M (gr)				
	119	Paalkuil				1	17				
Ceramiek	Grondstof code	Vorm	Datering	Opmerkingen	Rand	Wand	Bodem	Oor	Arch. voll.	1	17
2013-438-S119-Ce-1	HG-PG-BS		Vroege IJzertijd - Vroeg Romeins	secundair verbrand		1				1	17
Spoorinformatie	Spoornummer	Spoortype	Depositietype	Datering	Vulling	N	M (gr)				
	124	Kuil				12	296				

Ceramiek	Grondstof code	Vorm	Datering	Opmerkingen	Rand	Wand	Bodem	Oor	Arch. voll.	12	296
2013-438-S124-Ce-1	HG-OR		Late Bronstijd - Vroeg Romeins	aanleg vlak 2, mogelijk deel van een weefgewicht				5		5	151
2013-438-S124-Ce-2	HG-PG-NB		Late Bronstijd - Vroeg Romeins	aanleg vlak 2, secundair verbrand		1				1	17
2013-438-S124-Ce-3	HG-PG-BS		Vroege IJzertijd - Vroeg Romeins	aanleg vlak 2, secundair verbrand		6				6	128

Spoorinformatie	Spoornummer	Spoortype	Depositietype	Datering Vulling	N	M (gr)
	124L1	Kuil			5	306

Ceramiek	Grondstof code	Vorm	Datering	Opmerkingen	Rand	Wand	Bodem	Oor	Arch. voll.	5	306
2013-438-S124L1-Ce-1	HG-PG-BS		Vroege IJzertijd - Vroeg Romeins	vlak 2, secundair verbrand	1	2				3	254
2013-438-S124L1-Ce-2	HG-PG-NB		Late Bronstijd - Vroeg Romeins	vlak 2, secundair verbrand	1					1	4
2013-438-S124L1-Ce-3	HG-OR		Late Bronstijd - Vroeg Romeins	vlak 2, mogelijk deel van een weefgewicht		1				1	48

Spoorinformatie	Spoornummer	Spoortype	Depositietype	Datering Vulling	N	M (gr)
	124L2	Kuil			4	258

Ceramiek	Grondstof code	Vorm	Datering	Opmerkingen	Rand	Wand	Bodem	Oor	Arch. voll.	4	258
2013-438-S124L2-Ce-1	HG-OR		Late Bronstijd - Vroeg Romeins	mogelijk deel van een weefgewicht				2		2	70
2013-438-S124L2-Ce-2	HG-PG-BS		Vroege IJzertijd - Vroeg Romeins	secundair verbrand		2				2	188

Spoorinformatie	Spoornummer	Spoortype	Depositietype	Datering Vulling	N	M (gr)
	125	Kuil			17	154

Ceramiek	Grondstof code	Vorm	Datering	Opmerkingen	Rand	Wand	Bodem	Oor	Arch. voll.	16	138
2013-438-S125-Ce-1	HG-PG-NB		Late Bronstijd - Vroeg Romeins	vlak 2, secundair verbrand		3				3	21
2013-438-S125-Ce-2	HG-PG-BS		Vroege IJzertijd - Vroeg Romeins	vlak 2, secundair verbrand, één wandstukje met nagelindruk		12	1			13	117

Natuursteen	Grondstof code	Vorm	Datering	Opmerkingen	Boven	Midden	Onder	Additieven	Arch. voll.	1	16
2013-438-S125-Na-1				vlak 2				1		1	16

Spoorinformatie	Spoornummer	Spoortype	Depositietype	Datering Vulling	N	M (gr)
	125L1	Kuil			1	6

Ceramiek	Grondstof code	Vorm	Datering	Opmerkingen	Rand	Wand	Bodem	Oor	Arch. voll.	1	6
2013-438-S125L1-Ce-1	HG		Vroege IJzertijd - Vroeg Romeins	vlak 2, secundair verbrand		1				1	6

Spoorinformatie	Spoornummer	Spoortype	Depositietype	Datering Vulling	N	M (gr)
	126	Kuil			33	245

Ceramiek	Grondstof code	Vorm	Datering	Opmerkingen	Rand	Wand	Bodem	Oor	Arch. voll.	33	245
2013-438-S126-Ce-1	HG-OR		Late Bronstijd - Vroeg Romeins	vlak 2, mogelijk deel van een weefgewicht				5		5	25
2013-438-S126-Ce-2	HG-PG		Late Bronstijd - Vroeg Romeins	vlak 2				7		7	18
2013-438-S126-Ce-3	HG-PG-NB		Late Bronstijd - Vroeg Romeins	vlak 2, secundair verbrand	1	2				3	28
2013-438-S126-Ce-4	HG-PG-BS		Vroege IJzertijd - Vroeg Romeins	vlak 2, secundair verbrand		18				18	174
Spoorinformatie	Spoornummer	Spoortype	Depositietype	Datering Vulling	N	M (gr)					
	126L1	Kuil			4	27					
Ceramiek	Grondstof code	Vorm	Datering	Opmerkingen	Rand	Wand	Bodem	Oor	Arch. voll.	4	27
2013-438-S126L1-Ce-1	HG-PG-NB		Late Bronstijd - Vroeg Romeins	vlak 2, secundair verbrand		2				2	11
2013-438-S126L1-Ce-2	HG-PG-BS		Vroege IJzertijd - Vroeg Romeins	vlak 2, secundair verbrand		2				2	16
Spoorinformatie	Spoornummer	Spoortype	Depositietype	Datering Vulling	N	M (gr)					
	128	Kuil			6	154					
Ceramiek	Grondstof code	Vorm	Datering	Opmerkingen	Rand	Wand	Bodem	Oor	Arch. voll.	6	154
2013-438-S128-Ce-1	HG-PG-BS		Vroege IJzertijd - Vroeg Romeins	vlak 2, secundair verbrand		6				6	154
Spoorinformatie	Spoornummer	Spoortype	Depositietype	Datering Vulling	N	M (gr)					
	128L1	Kuil			3	21					
Ceramiek	Grondstof code	Vorm	Datering	Opmerkingen	Rand	Wand	Bodem	Oor	Arch. voll.	3	21
2013-438-S128L1-Ce-1	HG-PG-BS		Vroege IJzertijd - Vroeg Romeins	vlak 2, secundair verbrand		3				3	21
Spoorinformatie	Spoornummer	Spoortype	Depositietype	Datering Vulling	N	M (gr)					
	129	Kuil			16	121					
Ceramiek	Grondstof code	Vorm	Datering	Opmerkingen	Rand	Wand	Bodem	Oor	Arch. voll.	16	121
2013-438-S129-Ce-1	HG-PG-BS		Vroege IJzertijd - Vroeg Romeins	vlak 2, secundair verbrand		14				14	104
2013-438-S129-Ce-2	HG-PG-NB		Late Bronstijd - Vroeg Romeins	secundair verbrand		2				2	17
Spoorinformatie	Spoornummer	Spoortype	Depositietype	Datering Vulling	N	M (gr)					
	131	wegtrace			15	2050					
Bouwceraamiek	Grondstof code	Vorm	Datering	Opmerkingen	Rand	Midden	Hoek		Arch. voll.	8	1688
2013-438-S131-Bo-1	RO	Imbrex	Romeins	inkrassing kruis		1				1	162
2013-438-S131-Bo-2		Tegula	Romeins		1	6				7	1526

Ceramiek	Grondstof code	Vorm	Datering	Opmerkingen	Rand	Wand	Bodem	Oor	Arch. voll.	1	10
2013-438-S131-Ce-1	ND		Romeins		1					1	10
Metaal	Grondstof code	Vorm	Datering	Opmerkingen	Boven	Midden	Onder	Additieven	Arch. voll.	6	352
2013-438-S131-Me-1		Metaalslak				1				1	14
2013-438-S131-Me-2						5				5	338
Spoorinformatie	Spoornummer	Spoortype	Depositietype	Datering	Vulling					N	M (gr)
	133	Kuil								11	181
Ceramiek	Grondstof code	Vorm	Datering	Opmerkingen	Rand	Wand	Bodem	Oor	Arch. voll.	11	181
2013-438-S133-Ce-1	HG-PG-NB		Late Bronstijd - Vroeg Romeins	S-vormig profiel		1				1	48
2013-438-S133-Ce-2	HG-PG-NB		Late Bronstijd - Vroeg Romeins	secundair verbrand	2	2				4	112
2013-438-S133-Ce-3	HG-PG-BS		Vroege IJzertijd - Vroeg Romeins	secundair verbrand		6				6	21
Spoorinformatie	Spoornummer	Spoortype	Depositietype	Datering	Vulling					N	M (gr)
	134	Kuil								29	714
Ceramiek	Grondstof code	Vorm	Datering	Opmerkingen	Rand	Wand	Bodem	Oor	Arch. voll.	29	714
2013-438-S134-Ce-1	HG-PG-BS		Vroege IJzertijd - Vroeg Romeins	vlak 2, secundair verbrand		2				2	45
2013-438-S134-Ce-2	HG-PG-NB		Late Bronstijd - Vroeg Romeins	omphalosbodern, type 32 VDB					1	1	669
2013-438-S134-Ce-3	HG-PG-NB		Late Bronstijd - Vroege IJzertijd	profiel bodern -> rand kon samengesteld worden (type 32	1	24	1			26	
Spoorinformatie	Spoornummer	Spoortype	Depositietype	Datering	Vulling					N	M (gr)
	135	Kuil								11	580
Ceramiek	Grondstof code	Vorm	Datering	Opmerkingen	Rand	Wand	Bodem	Oor	Arch. voll.	6	518
2013-438-S135-Ce-1	HG-PG-BS		Vroege IJzertijd - Vroeg Romeins	vlak 2, secundair verbrand		6				6	518
Natuursteen	Grondstof code	Vorm	Datering	Opmerkingen	Boven	Midden	Onder	Additieven	Arch. voll.	5	62
2013-438-S135-Na-1				vlak 2				2	3	5	62
Spoorinformatie	Spoornummer	Spoortype	Depositietype	Datering	Vulling					N	M (gr)
	136	Kuil								2	24
Ceramiek	Grondstof code	Vorm	Datering	Opmerkingen	Rand	Wand	Bodem	Oor	Arch. voll.	2	24
2013-438-S136-Ce-1	HG-PG-BS		Vroege IJzertijd - Vroeg Romeins	vlak 2, secundair verbrand		2				2	24
Spoorinformatie	Spoornummer	Spoortype	Depositietype	Datering	Vulling					N	M (gr)
	145	Paalkuil								10	119

Ceramiek	Grondstof code	Vorm	Datering	Opmerkingen	Rand	Wand	Bodem	Oor	Arch. voll.	10	119
2013-438-S145-Ce-1	HG-PG-BS		Vroege IJzertijd - Vroeg Romeins			10				10	44
2013-438-S145-Ce-2	HG-PG		Late Bronstijd - Vroeg Romeins	Fragmenten							75

Bijlage 3 Ceramiektekeningen

